



Concessionaria per la progettazione, realizzazione e gestione del collegamento stabile tra la Sicilia e il Continente Organismo di Diritto Pubblico  
(Legge n° 1158 del 17 dicembre 1971, modificata dal D.Lgs. n°114 del 24 aprile 2003)



## PONTE SULLO STRETTO DI MESSINA



### PROGETTO DEFINITIVO ALTERNATIVE AI SITI DI DEPOSITO

(Richieste CTVA del 22/12/2011 Prot. CTVA/2011/4534 e del 16/03/2012 Prot. CTVA/2012/1012)

**EUROLINK S.C.p.A.**

IMPREGILO S.p.A.

SOCIETÀ ITALIANA PER CONDOTTE D'ACQUA S.p.A.

COOPERATIVA MURATORI E CEMENTISTI - C.M.C. DI RAVENNA SOC. COOP. A.R.L.

SACYR S.A.U.

ISHIKAWAJIMA - HARIMA HEAVY INDUSTRIES CO. LTD

A.C.I. S.C.P.A. - CONSORZIO STABILE

IL PROGETTISTA  
ATI PRO-GLOBAL  
Ing. B. Polifroni n° A1845  
Arch. S. Fedele n° 274



Ing. E. Pagani  
Ordine Ing. Milano n°15408

IL CONTRAENTE GENERALE  
PROJECT MANAGER  
(Ing. P.P. Marcheselli)

STRETTO DI MESSINA  
Direttore Generale  
Ing. G. Fiammenghi

STRETTO DI MESSINA  
Amministratore Delegato  
Dott. P. Ciucci

Firmato digitalmente ai sensi dell' "Art.21 del D.Lgs. 82/2005"

CZV0665\_F0

*Unità Funzionale*

COLLEGAMENTI VERSANTE CALABRIA

*Tipo di sistema*

CANTIERI

*Raggruppamento di opere/attività*

SITI DI RECUPERO AMBIENTALE E PRODUZIONE INERTI

*Opera - tratto d'opera - parte d'opera*

SITI DI RECUPERO AMBIENTALE

*Titolo del documento*

CRA 3 - PETTO - RELAZIONE GEOTECNICA E VERIFICHE DI STABILITÀ'

CODICE	C	G	1	4	0	0	P	R	B	V	C	C	Z	C	4	S	D	2	0	0	0	0	0	1	F0
--------	---	---	---	---	---	---	---	---	---	---	---	---	---	---	---	---	---	---	---	---	---	---	---	---	----

REV	DATA	DESCRIZIONE	REDATTO	VERIFICATO	APPROVATO
F0	08/06/2012	EMISSIONE FINALE	CASTRICIANO	G. POLIFRONI	B. POLIFRONI

NOME DEL FILE: CG1400PRBVCCZC4SD20000001

revisione interna:01



## INDICE

INDICE .....	3
1 INTRODUZIONE .....	5
2 NORMATIVA DI RIFERIMENTO.....	7
3 INQUADRAMENTO GEOLOGICO E GEOTECNICO .....	7
4 INDAGINI GEOGNOSTICHE .....	7
5 CARATTERIZZAZIONE GEOTECNICA.....	11
5.1    Stato iniziale dei materiali .....	12
6 FASI COSTRUTTIVE.....	13
7 PERICOLOSITA' SISMICA.....	13
8 MODELLO DI CALCOLO.....	17
8.1    Metodo agli elementi finiti (Metodo SSR) .....	17
8.2    Metodo dell'equilibrio limite (LEM) .....	18
9 PRESCRIZIONI ESECUTIVE .....	19
10 RISULTATI DI CALCOLO .....	21
10.1    Sezione 1.....	21
10.2    Sezione 4.....	24
10.3    Sezione 9.....	26
11 TABULATI DI CALCOLO.....	27
11.1    Sezione 1 – tabulato di imput.....	27
11.2    Sezione 1 – tabulato di output.....	35
11.3    Sezione 4 - tabulato di imput.....	40
11.4    Sezione 4 - tabulato di output .....	45
11.5    Sezione 9 - tabulato di imput.....	50
11.6    Sezione 9 - tabulato di output .....	56



		<b>Ponte sullo Stretto di Messina</b> <b>PROGETTO DEFINITIVO</b>	
<b>CRA 3 – RELAZIONE GEOTECNICA E VERIFICHE DI STABILITÀ'</b>	<i>Codice documento</i> CG1400PRBVCCZC4SD20000001	<i>Rev</i> F0	<i>Data</i> 08/06/2012

## 1 INTRODUZIONE

La presente relazione riguarda la caratterizzazione fisico meccanica del sottosuolo e le verifiche connesse con la progettazione del deposito denominato “CRA3” di materiale classificato come “terre e rocce da scavo” proveniente dalle lavorazioni inerenti la costruzione del Ponte sullo Stretto di Messina. Il deposito in esame (Fig 1.1) sarà realizzato in località “Petto di Braghò” nel comune di Limbadi, in provincia di Reggio Calabria.

Dalla figura 1.1, si evince che il deposito nel suo complesso è costituito da due “corpi” uno di volume maggiore (in alto a destra) che riveste carattere definitivo, l’altro di volume più contenuto (in basso a sinistra) che riveste carattere temporaneo (si prevede, infatti, che il materiale depositato venga successivamente rimosso). Nelle analisi svolte, operando a vantaggio di sicurezza, l’intero deposito è stato considerato definitivo ( $V_n=50$  anni).

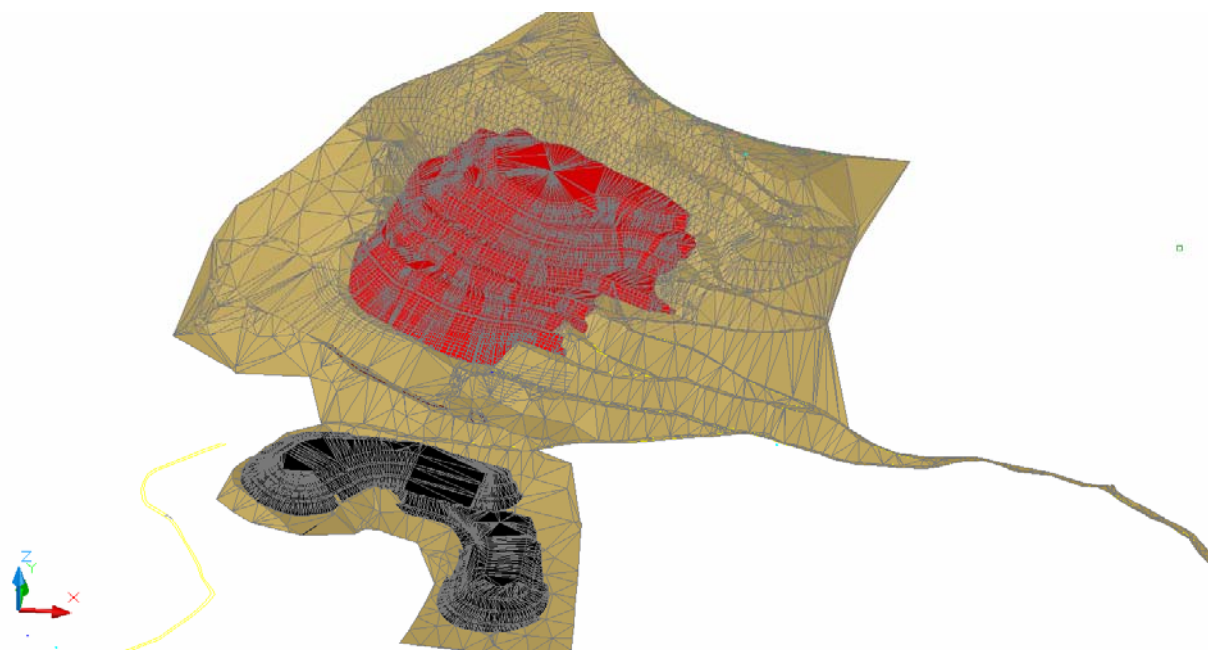


Figura 1.1 : Vista tridimensionale del deposito

Le analisi di stabilità del deposito sono state effettuate secondo il metodo **Shear Strength Reduction (SSR)**, applicato ad un modello agli elementi finiti a comportamento elasto-plastico, considerando le sezioni che permettono di individuare le principali configurazioni critiche dello stesso (Fig.1.2). Inoltre, con riferimento alla sezione critica del deposito, è stata anche eseguita una verifica di controllo, seguendo l’approccio tradizionale all’equilibrio limite (**LEM**), che mostra come i fattori di sicurezza ottenuti siano congruenti fra loro.

Per quanto riguarda gli aspetti litologici, geologici ed idrogeologici si fa riferimento alle specifiche relazioni di progetto integrate con gli elaborati generali di riferimento:

**Geologia:** Relazione Geologica generale e annesse relazioni idrogeologiche

- per la Calabria CG0800PRGDCSBC6G000000001A;

**Geotecnica:** Relazione Geotecnica generale

- per la Calabria CG0800PRBDCSBC8G000000001A;

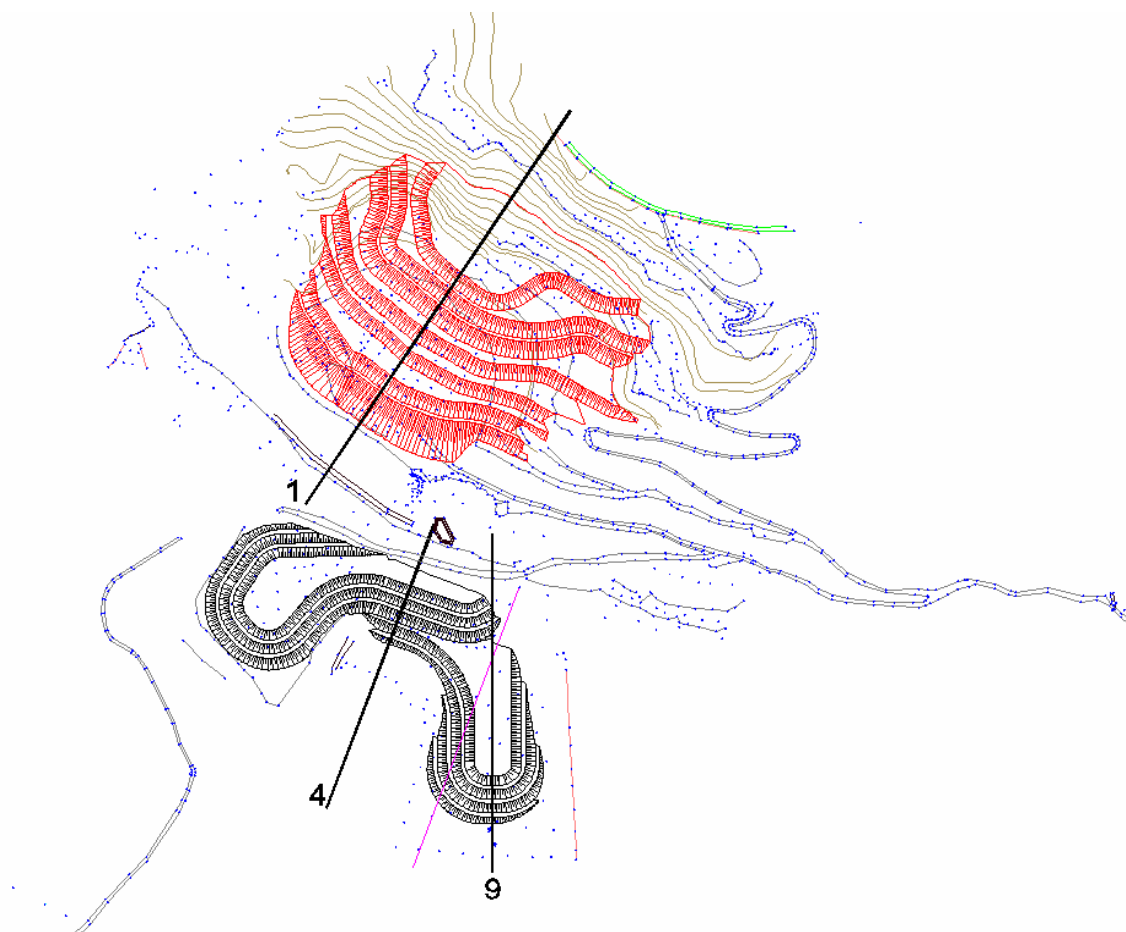


Figura 1.2 : Planimetria del deposito con indicazione delle sezioni di calcolo

Nel seguito si elencano le normative a cui si è fatto riferimento, e si descrivono i parametri geotecnici adottati nei calcoli, i modelli di calcolo e le verifiche di stabilità del deposito in oggetto.

Per ulteriori dettagli si rimanda agli elaborati grafici di progetto a cui il presente documento si affianca.

		Ponte sullo Stretto di Messina PROGETTO DEFINITIVO
CRA 3 – RELAZIONE GEOTECNICA E VERIFICHE DI STABILITÀ'	Codice documento CG1400PRBVCCZC4SD20000001	Rev F0      Data 08/06/2012

## 2 NORMATIVA DI RIFERIMENTO

- D.M. Infrastrutture 14 Gennaio 2008, pubblicato su S.O. alla G.U. 4 febbraio 2008, n. 29 “Nuove Norme Tecniche per le Costruzioni”
- CIRCOLARE 2 Febbraio 2009, n. 617 – Istruzioni per l'applicazione delle ‘Nuove norme tecniche per le costruzioni’ di cui al decreto ministeriale 14 Gennaio 2008 (GU n.47 del 26 Febbraio 2009 – Suppl. Ordinario n.27)
- UNI ENV 1997: “Eurocodice 7. Progettazione geotecnica”

## 3 INQUADRAMENTO GEOLOGICO E GEOTECNICO

Il sito interessato dall'intervento si trova sul fianco meridionale di un rilievo collinare oggetto di un'intensa attività estrattiva che ha modificato in modo vistoso l'originario assetto morfologico. Nella situazione attuale si riscontra una depressione aperta verso SW, delimitata da scarpate subverticali, l'assetto geologico dell'area considerata risulta definito da una formazione di rocce granitiche cristalline di età paleozoica, formato da rocce intrusive di composizione granitica. Nell'area esaminata la coltre di alterazione è stata completamente rimossa dalle passate operazioni di scavo. Per l'area di cava in esame, inoltre, le proprietà geotecniche della roccia affiorante rendono tendenzialmente stabile l'assetto geostatico globale delle scarpate che delimitano lo scavo. Nella zona dove sorgeranno i depositi e in quelle circostanti non sono state rinvenute sorgenti che evidenziano la presenza di una rete acquifera sotterranea, almeno fino alle quote interessate dallo scavo. Nella zona del deposito temporaneo il modello geologico è formato da depositi pleistocenici di ambiente alluvionale, in cui prevalgono litotipi ad elevata componente pelitica, molto eterogenei dal punto di vista granulometrico, con la falda acquifera posizionata ad una profondità superiore ai 50 m dal piano campagna.

## 4 INDAGINI GEOGNOSTICHE

I dati acquisiti in questa fase di studio, integrati anche con le informazioni disponibili da altre indagini e da dati di letteratura hanno consentito di definire, con sufficiente approssimazione il modello geotecnico di progetto. A tal riguardo, in figura 4.1 e tabella 4.1, si riportano le sezioni litotecniche di riferimento utilizzate nei calcoli ed i rispettivi parametri geotecnici di sintesi.

		Ponte sullo Stretto di Messina PROGETTO DEFINITIVO
CRA 3 – RELAZIONE GEOTECNICA E VERIFICHE DI STABILITÀ'	Codice documento CG1400PRBVCCZC4SD20000001	Rev F0      Data 08/06/2012

Litologia	Parametri geotecnici
 Materiale di risulta dell'ex attività estrattiva, composto da blocchi e ciottoli spigolosi di roccia granitica immersi in una matrice sabbioso - ghiaiosa.	Peso Unità di Volume: 1,9 t/mc Angolo di Attrito: 32° Coesione: 0,00 Kg/cmq
 Depositi di natura alluvionale molto eterogenei composti da sabbie argillose con intercalazioni di ghiaie argilloso - sabbiose e di argilla sabbiosa.	Peso Unità di Volume: 1,8 t/mc Angolo di Attrito: 30° Coesione: 0,00 Kg/cmq
 Depositi di origine marina composti da sabbie argillose passanti in profondità ad argille debolmente sabbiose.	Peso Unità di Volume: 1,9 t/mc Angolo di Attrito: 28° Coesione: 0,10 Kg/cmq
 Complesso di rocce intrusive di composizione granitica intensamente fratturate e molto alterate nelle porzioni più superficiali.	*Peso Unità di Volume: 2,0 - 2,4 t/mc *Angolo di Attrito: 32° - 40° *Coesione: 0,10 - 1,00 Kg/cmq

Tabella 4.1 : Parametri geotecnici di sintesi

Per quanto riguarda le indagini geofisiche è stato eseguito uno stendimento sismico, le risultanze delle indagini geosismiche MASW hanno fornito il valore del  $V_{s,30}$ , necessario per classificare la categoria di sottosuolo [par.3.2.2, NTC 2008] :

$$V_{s30} = \frac{30}{\sum_{i=1,N} \frac{h_i}{v_i}} = 989 \text{ m / s}$$

Il suolo in esame è, quindi, stato assimilato alla categoria "A" (Ammassi rocciosi affioranti o terreni molto rigidi).

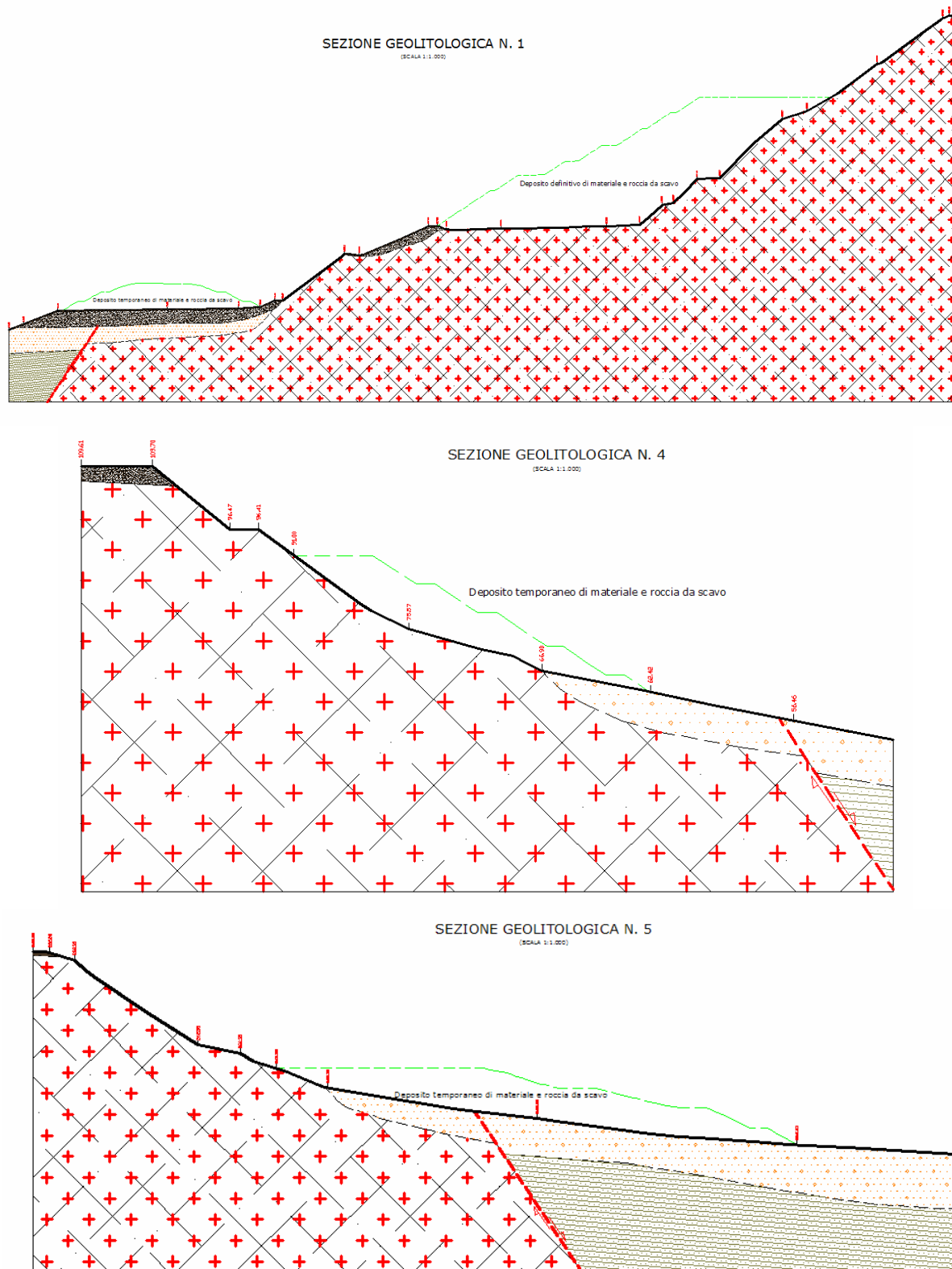


Figura 4.1 : Sezioni geolitologiche di riferimento

 	<p style="text-align: center;"><b>Ponte sullo Stretto di Messina</b> <b>PROGETTO DEFINITIVO</b></p>		
CRA 3 – RELAZIONE GEOTECNICA E VERIFICHE DI STABILITA'	<i>Codice documento</i> CG1400PRBVCCZC4SD20000001	<i>Rev</i> F0	<i>Data</i> 08/06/2012

		<b>Ponte sullo Stretto di Messina</b> <b>PROGETTO DEFINITIVO</b>		
CRA 3 – RELAZIONE GEOTECNICA E VERIFICHE DI STABILITÀ'	<i>Codice documento</i> CG1400PRBVCCZC4SD20000001	<i>Rev</i> F0	<i>Data</i> 08/06/2012	

## 5 CARATTERIZZAZIONE GEOTECNICA

Si riassumono i parametri geotecnici utilizzati nelle analisi:

- Materiale di risulta composto da blocchi e ciottoli spigolosi di roccia granitica immersi in una matrice sabbioso - ghiaiosa.**

		Caratteristici	Di progetto
Peso di Volume	$\gamma$ [kN/mc]	19.00	19.00
Coesione efficace	$c'$ [kPa]	0.00	0.00
Angolo di attrito	$\phi$ [°]	32	26.56
Modulo di Young	E [kPa]	30000	30000
Coefficiente di Poisson	$\nu$	0.30	0.30

- Depositi alluvionali**

		Caratteristici	Di progetto
Peso di Volume	$\gamma$ [kN/mc]	18.00	18.00
Coesione efficace	$c'$ [kPa]	0.00	0.00
Angolo di attrito	$\phi$ [°]	30	24.80
Modulo di Young	E [kPa]	20000	20000
Coefficiente di Poisson	$\nu$	0.30	0.30

- Depositi marini**

		Caratteristici	Di progetto
Peso di Volume	$\gamma$ [kN/mc]	19.00	19.00
Coesione efficace	$c'$ [kPa]	10	8.00
Angolo di attrito	$\phi$ [°]	28	23.00
Modulo di Young	E [kPa]	25000	25000
Coefficiente di Poisson	$\nu$	0.30	0.30

- Rocce intrusive di composizione granitica**

		Caratteristici	Di progetto
Peso di Volume	$\gamma$ [kN/mc]	22.00	22.00
Coesione efficace	$c'$ [kPa]	100	80
Angolo di attrito	$\phi$ [°]	38	32
Modulo di Young	E [kPa]	600000	600000
Coefficiente di Poisson	$\nu$	0.30	0.30

		<b>Ponte sullo Stretto di Messina</b> <b>PROGETTO DEFINITIVO</b>		
<b>CRA 3 – RELAZIONE GEOTECNICA E VERIFICHE DI STABILITÀ'</b>	<i>Codice documento</i> CG1400PRBVCCZC4SD20000001	<i>Rev</i> F0	<i>Data</i> 08/06/2012	

▪ **Materiale che costituirà il corpo del deposito**

		Caratteristici	Di progetto
Peso di Volume	$\gamma$ [kN/mc]	19.00	19.00
Coesione efficace	$c'$ [kPa]	0	0
Angolo di attrito	$\phi$ [°]	35	29.25
Modulo di Young	$E$ [kPa]	30000	30000
Coefficiente di Poisson	$v$	0.30	0.30

## 5.1 Stato iniziale dei materiali

Le condizioni tensionali presenti in situ prima dello scavo sono state considerate di tipo gravitazionale. Le tensioni verticali iniziali in un dato punto del modello del terreno variano, quindi, linearmente con la profondità.

Le componenti orizzontali sono ricavate a partire da quelle verticali, attraverso il coefficiente di spinta a riposo  $k'$ . In particolare, in termini di tensioni efficaci e totali risultano rispettivamente:

$$\sigma'_H = k' \sigma'_V \quad \text{e} \quad \sigma_H = k' (\sigma_V - u) + u$$

dove

- $\sigma'_H$  tensione orizzontale efficace;
- $\sigma'_V$  tensione verticale efficace;
- $k'$  coefficiente di spinta a riposo pari al rapporto tra la tensione orizzontale e verticale;
- $\sigma_H$  tensione orizzontale totale;
- $\sigma_V$  tensione verticale totale;
- $u$  pressione interstiziale;

Nel caso esaminato è stato assunto un valore di  $k'$  dato dalla seguente relazione [Jaky,1944]:

$$k' = 1 - \sin \varphi'$$

In cui  $\varphi'$  è l'angolo di resistenza al taglio.

		Ponte sullo Stretto di Messina PROGETTO DEFINITIVO		
CRA 3 – RELAZIONE GEOTECNICA E VERIFICHE DI STABILITÀ'	<i>Codice documento</i> CG1400PRBVCCZC4SD20000001	<i>Rev</i> F0	<i>Data</i> 08/06/2012	

## 6 FASI COSTRUTTIVE

Il riempimento del deposito sarà effettuato in progressive stratificazioni (nelle analisi assunte di spessore pari a circa 5-6.00 m). Nel modello di calcolo impiegato è stato ricostruito l'intero processo di realizzazione del deposito, partendo dalla configurazione di terreno vergine, corrispondente alle condizioni tensionali iniziali, antecedenti il progressivo accumulo di materiale, fino alle condizioni finali, in presenza di sisma. In particolare, gli stages di calcolo previsti sono:

- STAGE 1: Condizioni iniziali
- STAGE 2-n-1: Sovrapposizione degli strati di riempimento del deposito
- STAGE n: Azione del sisma

## 7 PERICOLOSITA' SISMICA

I parametri sismici sono funzione di diversi fattori, quali:

- coordinate geografiche del sito in esame (latitudine e longitudine)
- vita nomimale
- classe dell'opera
- periodo di riferimento
- coefficiente d'uso
- categoria topografica
- categoria di sottosuolo

La vita nominale, funzione del tipo d'opera che verrà realizzata [tabella 2.4I NTC 2008], è stata assunta pari a 50 anni, la classe dell'opera pari a 2, ed il coefficiente d'uso pari a 1. Conseguentemente il periodo di riferimento dell'azione sismica è pari a 50 anni [par. 2.4.3 NTC 2008]. La categoria topografica, funzione della geometria dell'intervento, è stata scelta corrisponde alla categoria T3 [tab. 3.2.IV, NTC 2008], e quella di sottosuolo dedotta dalle indagini sismiche a rifrazione è pari a A.

Le componenti dell'azione sismica sono state valutate a partire dei coefficienti  $K_o$  e  $K_v$ , funzione dei seguenti parametri:

$$K_o = \beta_s \cdot \left( \frac{a_{\max}}{g} \right) \quad K_v = \pm 0.5 \cdot K_o$$

		<b>Ponte sullo Stretto di Messina</b> <b>PROGETTO DEFINITIVO</b>		
CRA 3 – RELAZIONE GEOTECNICA E VERIFICHE DI STABILITÀ'	<i>Codice documento</i> CG1400PRBVCCZC4SD20000001	<i>Rev</i> F0	<i>Data</i> 08/06/2012	

dove:

$\beta_s$  coefficiente di riduzione dell'accelerazione massima attesa al sito;

$g$  accelerazione di gravità;

$a_{mac}$  accelerazione massima attesa sul sito;

Quest'ultimo valore dipende dalle caratteristiche geomorfologiche del territorio, in particolare:

$$a_{mac} = S_s \cdot S_T \cdot a_g$$

$S_s$  coefficiente di amplificazione stratigrafica, funzione di  $F_0$  (fattore massimo di amplificazione dello spettro in accelerazione orizzontale) e della categoria di suolo (A, B, C, D, E);

$S_T$  coefficiente di amplificazione topografica;

$a_g$  accelerazione orizzontale massima;

Sono stati, così, dedotti i parametri sismici relativi ai diversi stati limite. Si ricorda che nelle analisi di stabilità svolte si è fatto riferimento allo stato limite di salvaguardia della vita (SLV). Si riportano i parametri sismici ricavati.

### **Sito in esame.**

latitudine: 38,5392624358499

longitudine: 15,9694331300377

Classe: 2

Vita nominale: 50

### **Siti di riferimento**

Sito 1 ID: 43217	Lat: 38,5581Lon: 15,9156	Distanza: 5127,153
Sito 2 ID: 43218	Lat: 38,5567Lon: 15,9794	Distanza: 2119,417
Sito 3 ID: 43440	Lat: 38,5067Lon: 15,9775	Distanza: 3689,250
Sito 4 ID: 43439	Lat: 38,5081Lon: 15,9138	Distanza: 5951,768

### **Parametri sismici**

Categoria sottosuolo: A

Categoria topografica: T3

Periodo di riferimento: 50anni

		Ponte sullo Stretto di Messina PROGETTO DEFINITIVO
CRA 3 – RELAZIONE GEOTECNICA E VERIFICHE DI STABILITÀ'	Codice documento CG1400PRBVCCZC4SD20000001	Rev F0      Data 08/06/2012

Coefficiente cu: 1

#### Operatività (SLO):

Probabilità di superamento: 81 %  
Tr: 30 [anni]  
ag: 0,067 g  
Fo: 2,298  
Tc\*: 0,280 [s]

#### Danno (SLD):

Probabilità di superamento: 63 %  
Tr: 50 [anni]  
ag: 0,090 g  
Fo: 2,271  
Tc\*: 0,298 [s]

#### Salvaguardia della vita (SLV):

Probabilità di superamento: 10 %  
Tr: 475 [anni]  
ag: 0,267 g  
Fo: 2,422  
Tc\*: 0,364 [s]

#### Prevenzione dal collasso (SLC):

Probabilità di superamento: 5 %  
Tr: 975 [anni]  
ag: 0,360 g  
Fo: 2,461  
Tc\*: 0,389 [s]

#### Coefficienti Sismici

##### SLO:

Ss: 1,000  
Cc: 1,000  
St: 1,200  
Kh: 0,016  
Kv: 0,008  
Amax: 0,788  
Beta: 0,200

##### SLD:

Ss: 1,000  
Cc: 1,000  
St: 1,200  
Kh: 0,022  
Kv: 0,011  
Amax: 1,059  
Beta: 0,200

##### SLV:

Ss: 1,000  
Cc: 1,000  
St: 1,200  
Kh: 0,096  
Kv: 0,048  
Amax: 3,137  
Beta: 0,300

##### SLC:

Ss: 1,000  
Cc: 1,000  
St: 1,200  
Kh: 0,129  
Kv: 0,065  
Amax: 4,233  
Beta: 0,300

		<b>Ponte sullo Stretto di Messina</b> <b>PROGETTO DEFINITIVO</b>
CRA 3 – RELAZIONE GEOTECNICA E VERIFICHE DI STABILITA'	<i>Codice documento</i> CG1400PRBVCCZC4SD20000001	<i>Rev</i> F0

## 8 MODELLO DI CALCOLO

### 8.1 Metodo agli elementi finiti (Metodo SSR)

La risoluzione di un problema di stabilità di un versante richiede la conoscenza delle sue equazioni di governo, ovvero le equazioni di equilibrio e quelle costitutive, che descrivono il comportamento meccanico del terreno.

Tali equazioni risultano particolarmente complesse, visto che il terreno è un sistema multifase, riconducibile ad un sistema monofase solo in condizioni di terreno secco, o di analisi in condizioni drenate.

Inoltre, è praticamente impossibile definire una legge costitutiva di validità generale, vista la non-linearità del terreno anche in corrispondenza di piccole deformazioni, la sua anisotropia e la dipendenza del suo comportamento sia dallo sforzo normale che da quello deviatorico.

A causa di tali difficoltà è necessario introdurre delle ipotesi semplificative, ed in particolare:

- Il comportamento costitutivo del terreno viene assunto rigido perfettamente plastico.
- La resistenza del materiale viene espressa unicamente dalla coesione e dall'angolo di resistenza al taglio, assunti costanti e caratteristici dello stato plastico; si suppone valido il criterio di rottura di Mohr-Coulomb.

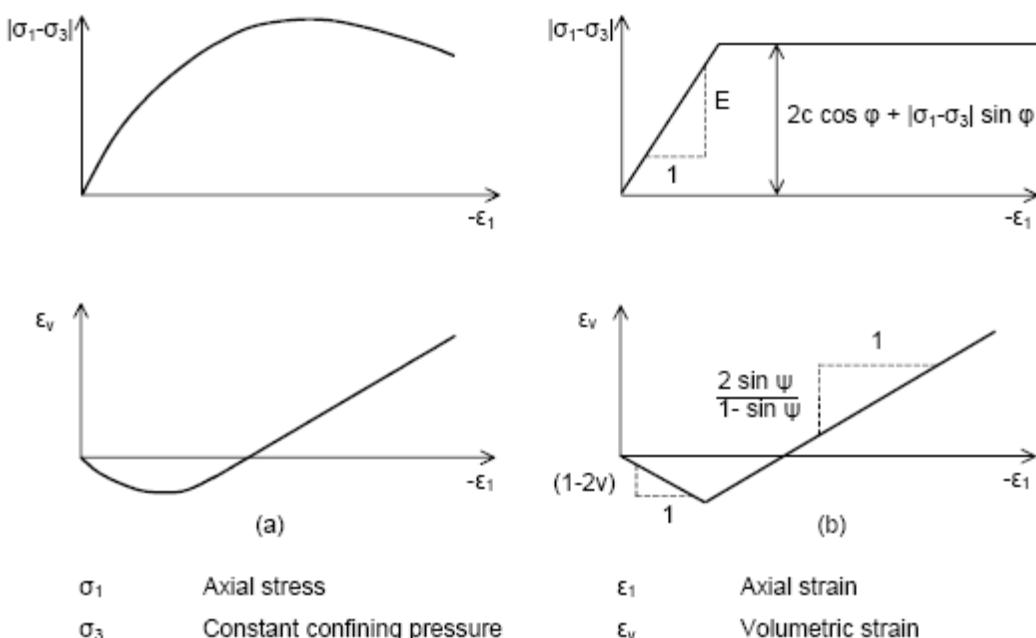


Figura 8.1

		<b>Ponte sullo Stretto di Messina</b> <b>PROGETTO DEFINITIVO</b>		
<b>CRA 3 – RELAZIONE GEOTECNICA E VERIFICHE DI STABILITÀ'</b>	<i>Codice documento</i> CG1400PRBVCCZC4SD20000001	<i>Rev</i> F0	<i>Data</i> 08/06/2012	

Il software impiegato per l'analisi di stabilità del pendio è un solutore agli elementi finiti a comportamento elasto-plastico, finalizzato alla valutazione dello stato tensionale effettivo e totale del terreno, e del campo di deformazione. Le analisi sono effettuate nell'ipotesi di deformazione piana [PHASE2, Rocscience 2003].

Le analisi di stabilità sono state effettuate discretizzando il terreno attraverso una mesh uniforme, con elementi finiti a tre nodi. Il comportamento degli elementi finiti segue il criterio elasto-perfettamente plastico di Mohr Coulomb, per il quale è richiesta la definizione di cinque parametri fondamentali (modulo di Young  $E$ , coefficiente di Poisson  $\nu$ , coesione  $c$ , angolo di attrito  $\phi$ , e dilatazione  $\psi$ ).

Il metodo adottato dal software per l'analisi di stabilità è il metodo “**Shear Strength Reduction, SSR**” [Hammah et al 2006, Dawson et al 1999, Griffith & Lane 1999, Matsui & San, 1992].

Il coefficiente di sicurezza viene ottenuto riducendo progressivamente la resistenza a taglio dei materiali che costituiscono il pendio, fino al raggiungimento della condizione di collasso, che coincide con quella di instabilità del modello. La convergenza della soluzione FEM è, quindi, utilizzata come indicatore della condizione di crisi del pendio, per la quale la distribuzione tensionale e deformativa non è determinabile. Il fattore critico di riduzione della resistenza (**Strength Reduction Factor, SRF**) è equivalente al fattore di sicurezza del pendio.

## 8.2        **Metodo dell'equilibrio limite (LEM)**

Il metodo dell'equilibrio limite consiste nello studiare l'equilibrio di un corpo rigido, costituito dal pendio e da una superficie di scorrimento di forma qualsiasi (linea retta, arco di cerchio, spirale logaritmica); da tale equilibrio viene calcolata l'azione instabilizzante  $Ed$  e confrontata con la resistenza  $Rd$  disponibile per il sistema geotecnico, valutata secondo il criterio di rottura di Coulomb, da tale confronto ne scaturisce l'indicazione sulla stabilità attraverso il coefficiente di sicurezza  $F = Rd/Ed$ .

Le analisi sono state condotte con il programma di calcolo *SLIDE* della *Rocscience Inc.*, utilizzando il metodo di *Bishop semplificato* (1955), ed ipotizzando superfici di scorrimento circolari di raggio  $r$ , con il materiale coinvolto nella rottura suddiviso in conci di larghezza  $b$  (vedi schema riportato in figura 8.2), per ognuno dei quali viene espresso il rapporto fra i momenti stabilizzanti  $Ms$  (resistenza  $Rd$  del sistema geotecnico) e i momenti ribaltanti  $Mr$  (azione  $Ed$ ) calcolati rispetto al centro del cerchio.

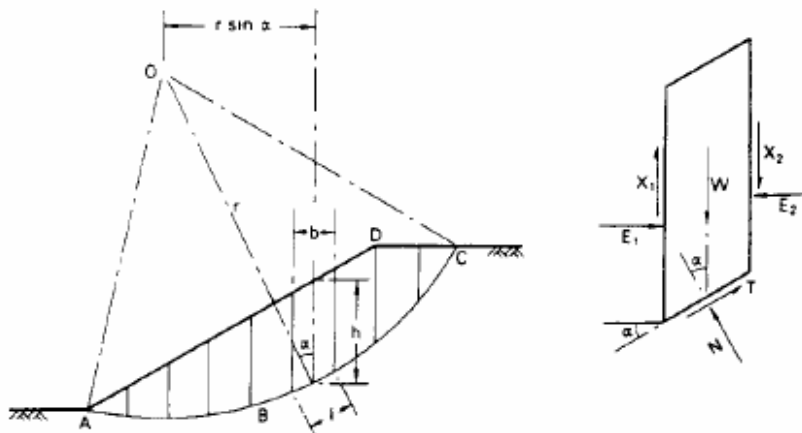


Figura 8.2

## 9 PRESCRIZIONI ESECUTIVE

Il deposito in esame è formato prevalentemente da materiali classificati come “terre e rocce da scavo” provenienti quindi, da scavi di sbancamento di fondazione o in galleria appartenenti ai gruppi A<sub>1</sub>, A<sub>2-4</sub>, A<sub>2-5</sub>, A<sub>3</sub> (*classificazione CNR- UNI 10006*, 1963).

Prima della costruzione del corpo del deposito, si deve procedere alla rimozione e asportazione del terreno vegetale ove presente, per uno spessore medio pari a 25 cm, in modo che il piano di posa risulti più regolare possibile, privo di avvallamenti e tale da evitare il ristagno delle acque piovane.

I piani di posa sono ottenuti praticando scavi di sbancamento a gradoni laddove il terreno si presenta non orizzontale. La stesa del materiale deve essere eseguita con regolarità per strati di spessore costante pari a 50 cm. A compattazione avvenuta, i materiali impiegati devono presentare un modulo di deformabilità non inferiore a 15 MPa e caratteristiche di resistenza congruenti con le ipotesi di progetto per il corpo del deposito; queste ultime devono essere accertate in modo rigoroso, e garantite anche a lungo termine, nelle condizioni climatiche e idrogeologiche più sfavorevoli.

E’ inoltre opportuno sottolineare la necessità di realizzare una sperimentazione in vera grandezza (“**campo prova**”) al fine di definire, sulla scorta dei risultati delle prove preliminari di laboratorio e con l’impiego di mezzi disponibili, gli spessori di stesa ed il numero di passaggi dei compattatori che permettono di raggiungere le prestazioni prescritte (grado di addensamento, portanza e resistenza).

La sperimentazione in scala reale deve riguardare ogni campione omogeneo di materiale che si intende utilizzare per la realizzazione del corpo del deposito e deve essere completata prima della Eurolink S.C.p.A.

<b>Stretto di Messina</b>		<b>Ponte sullo Stretto di Messina</b> <b>PROGETTO DEFINITIVO</b>		
CRA 3 – RELAZIONE GEOTECNICA E VERIFICHE DI STABILITA'		<i>Codice documento</i> CG1400PRBVCCZC4SD20000001	<i>Rev</i> F0	<i>Data</i> 08/06/2012

esecuzione dello stesso, in modo da essere di riferimento dei movimenti di materia e delle modalità esecutive di lavorazione. L'area predestinata alla prova deve essere perfettamente livellata, compattata, tale da presentare caratteristiche di deformabilità e resistenza analoghe a quelle dei materiali in esame.

		<b>Ponte sullo Stretto di Messina</b> <b>PROGETTO DEFINITIVO</b>	
<b>CRA 3 – RELAZIONE GEOTECNICA E VERIFICHE DI STABILITA'</b>	<i>Codice documento</i> CG1400PRBVCCZC4SD20000001	<i>Rev</i> F0	<i>Data</i> 08/06/2012

## 10 RISULTATI DI CALCOLO

Le analisi sono state condotte seguendo l'Approccio 1, che prevede la combinazione 2 (A2+M2+R2), in accordo al codice normativo vigente [NTC 2008, par.6.8.2].

Secondo tale combinazione i parametri di resistenza del terreno sono decurtati del 25%, mentre gli eventuali carichi agenti sono considerati con il loro valore caratteristico.

L'azione sismica è stata considerata con il suo valore massimo nella direzione orizzontale, mentre ridotta del 30% nella direzione verticale.

Le analisi hanno evidenziato coefficienti di sicurezza superiori al coefficiente limite (SFR, <sub>normativo</sub>=1.10) ammesso dalle NTC 2008. Di seguito vengono rappresentate le configurazioni considerate per le sezioni in studio.

### 10.1 Sezione 1

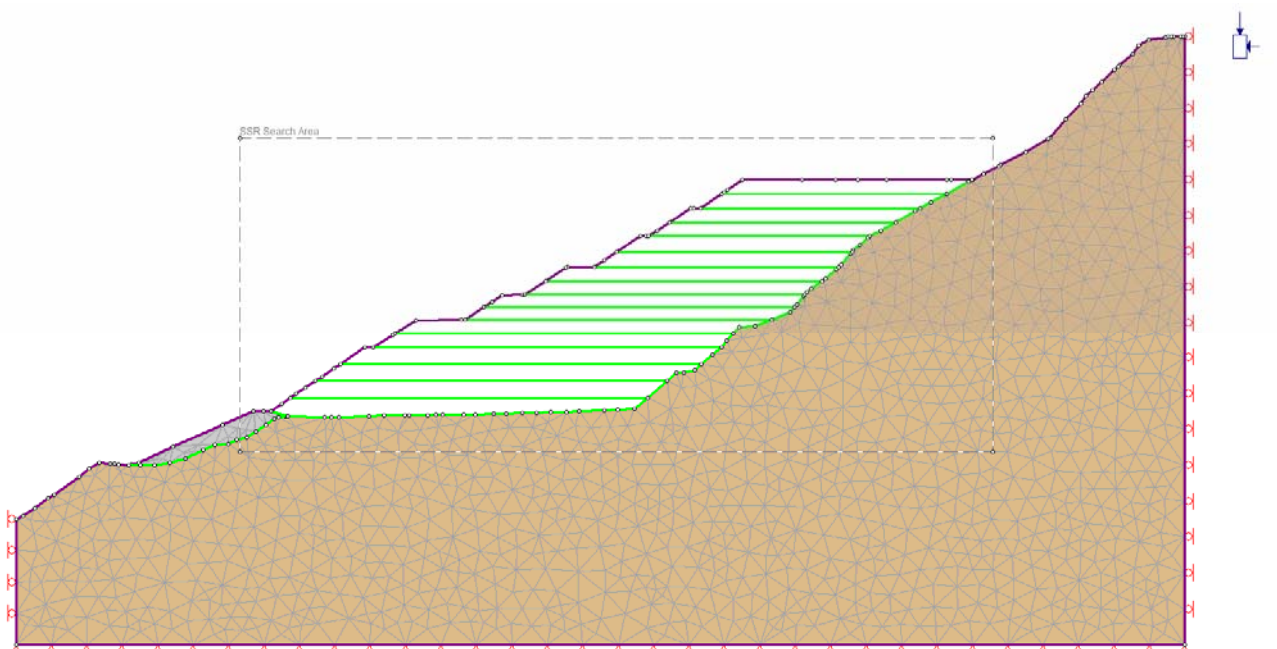


Figura 10.1 : Fase iniziale

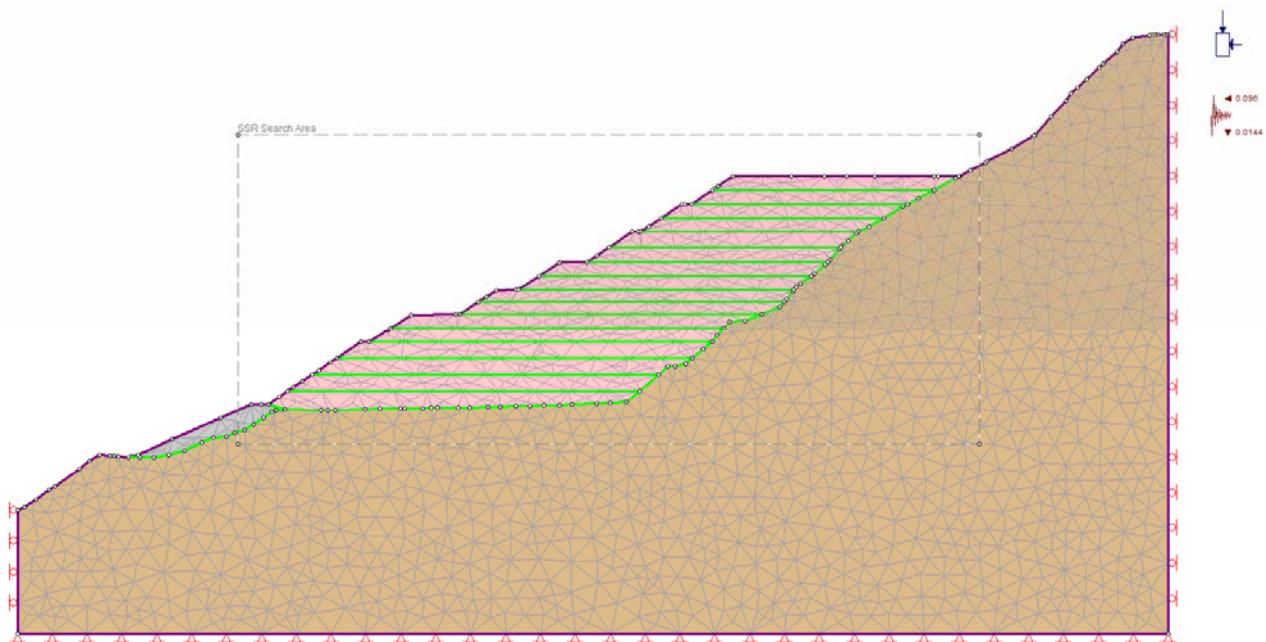


Figura 10.2 : Fase finale – completo riempimento e azione sismica

L'analisi di stabilità condotta sulla configurazione di completo riempimento del deposito con materiale inerte ha fornito un valore del coefficiente di sicurezza pari a 1.12, superiore al valore normativo.

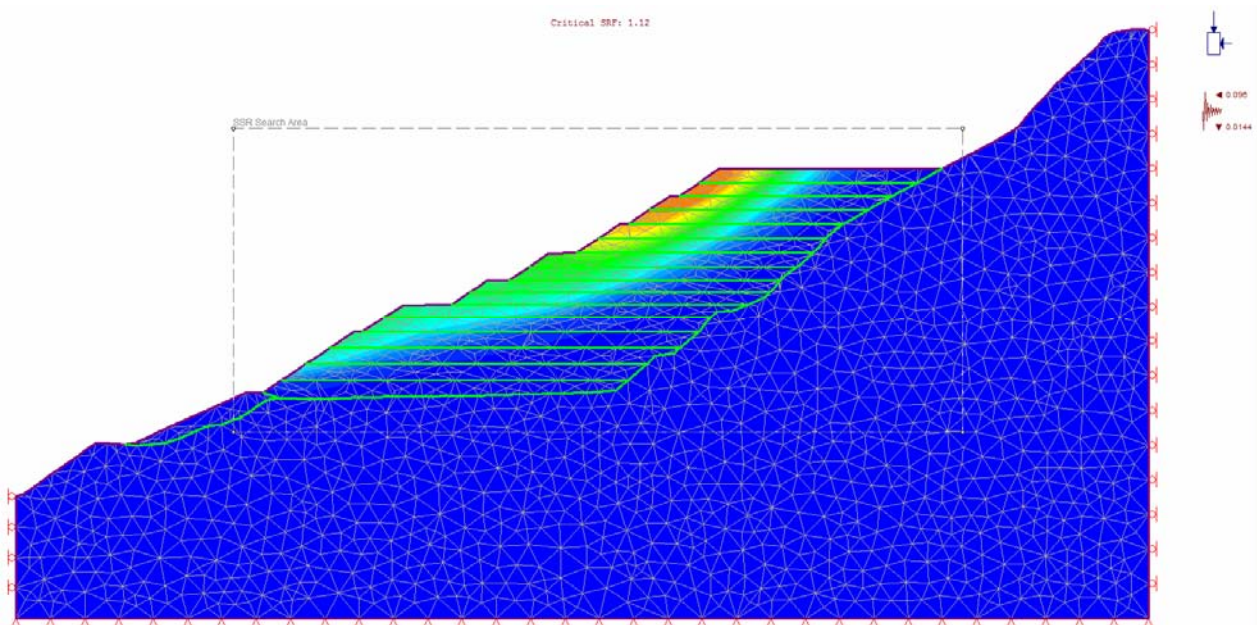


Figura 10.3 : Meccanismo di scivolamento - Spostamenti totali – Fase finale - SFR=1.12

Come accennato nell'introduzione, la verifica della sezione critica (sezione con coefficiente di

		<b>Ponte sullo Stretto di Messina</b> <b>PROGETTO DEFINITIVO</b>		
<b>CRA 3 – RELAZIONE GEOTECNICA E VERIFICHE DI STABILITA'</b>	<i>Codice documento</i> CG1400PRBVCCZC4SD20000001	<i>Rev</i> F0	<i>Data</i> 08/06/2012	

sicurezza più basso) è stata anche eseguita secondo l'approccio tradizionale all'equilibrio limite (figura 10.4):

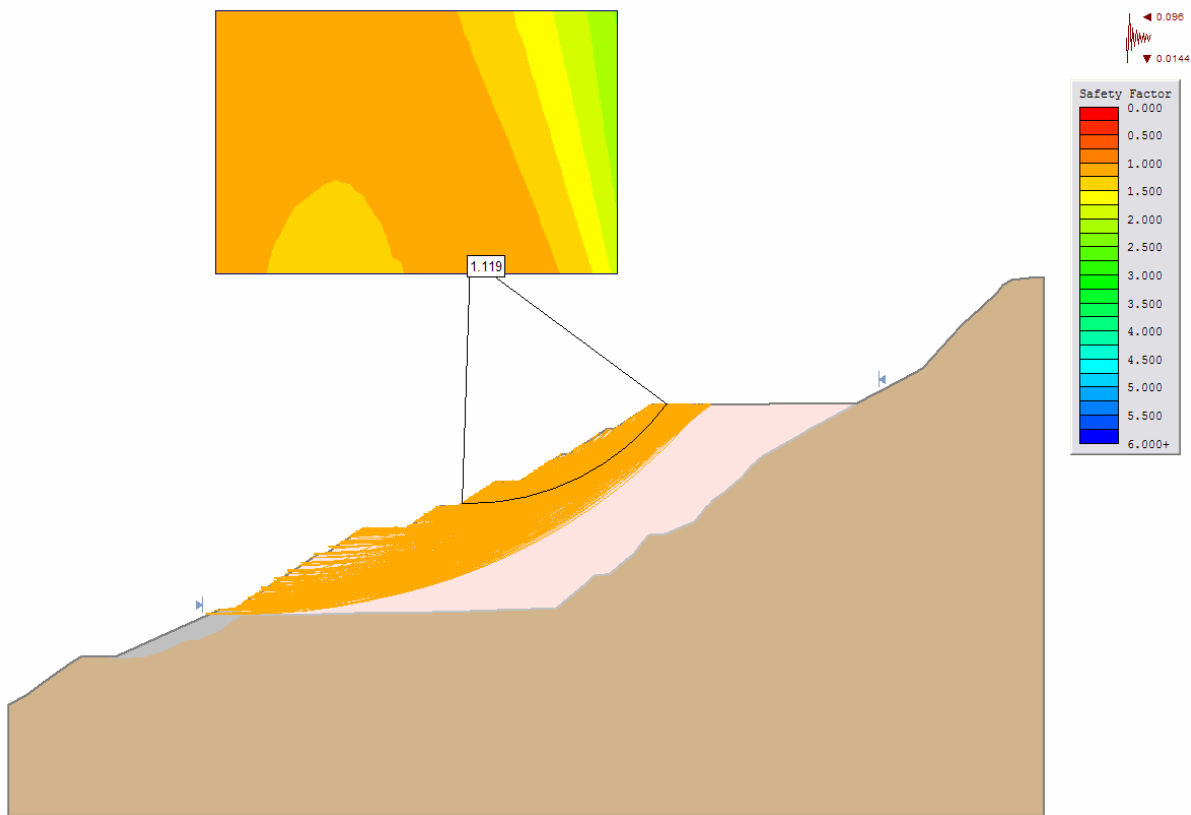


Figura 10.4 : Verifica di stabilità con il metodo dell'equilibrio limite (Sezione 1)

Dal confronto fra la figura 10.3 e la figura 10.4 appare evidente come i risultati ottenuti mediante le due analisi siano confrontabili fra di loro. Ciò mostra come il fattore di sicurezza ottenuto con il metodo utilizzato (SSR) sia assolutamente congruente ed in linea con i più tradizionali metodi di verifica della stabilità.

## 10.2 Sezione 4

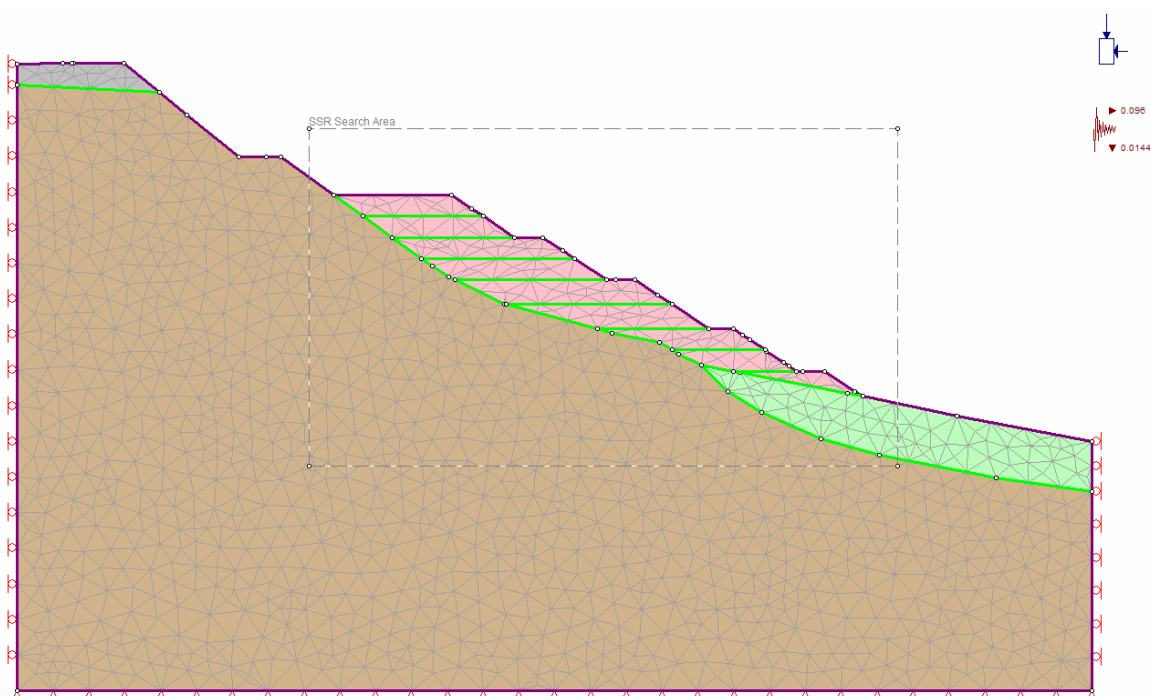
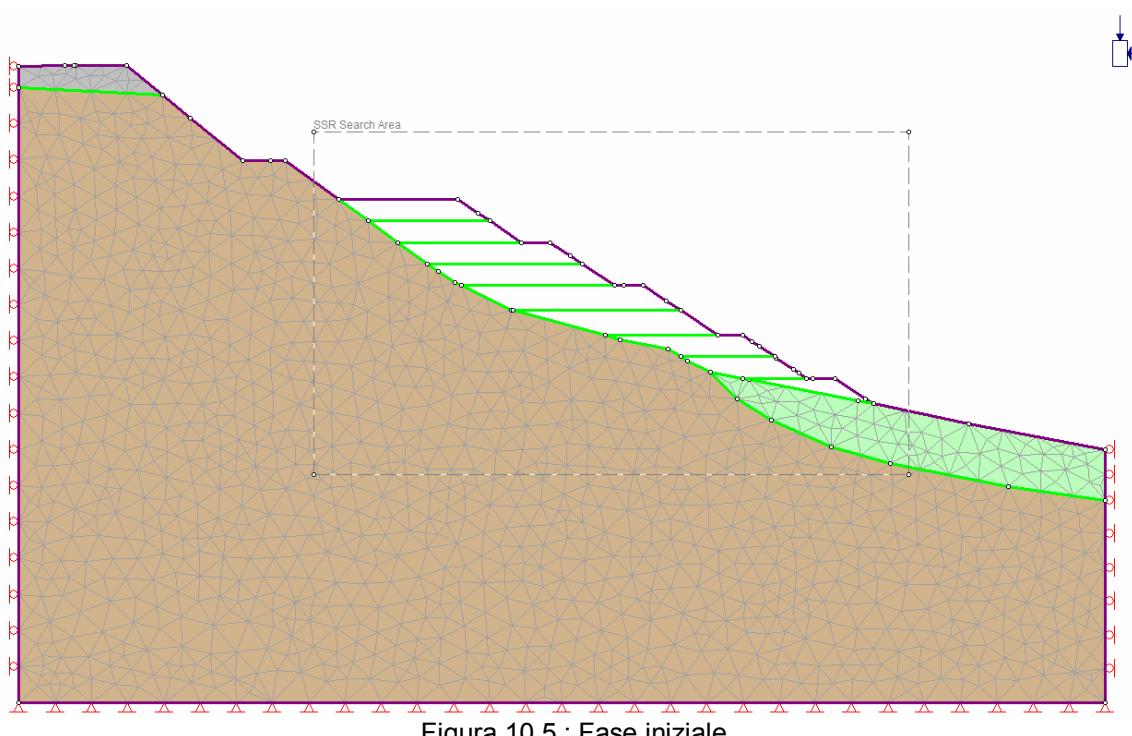


Figura 10.6 : Fase finale – completo riempimento e azione sismica

L'analisi di stabilità condotta sulla configurazione di completo riempimento del deposito con materiale inerte ha fornito un valore del coefficiente di sicurezza pari a **1.20**, superiore al valore normativo.

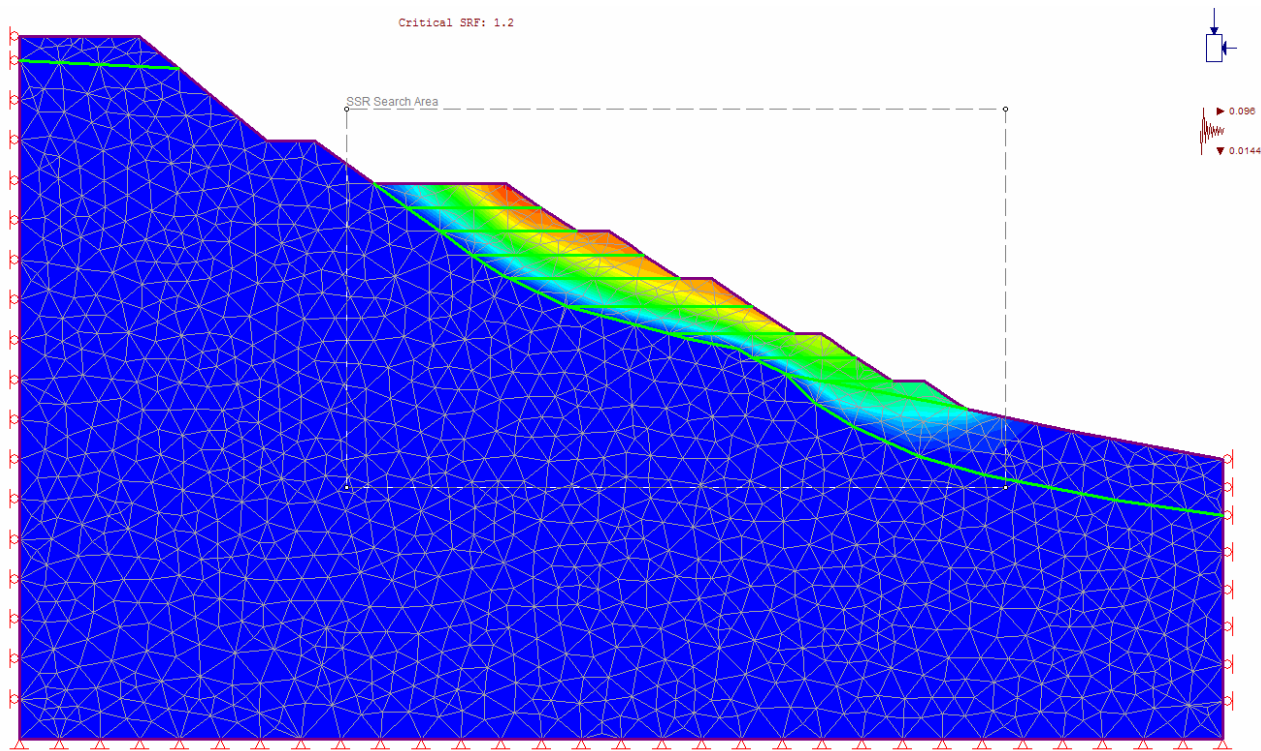


Figura10.7 : Meccanismo di scivolamento - Spostamenti totali – Fase finale - SFR=1.20

### 10.3 Sezione 9

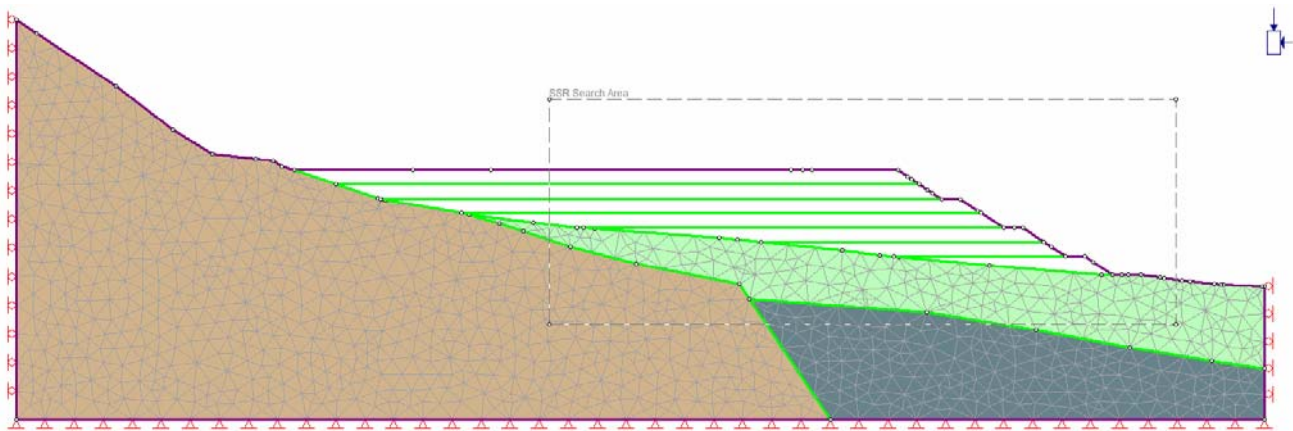


Figura 10.8 : Fase iniziale

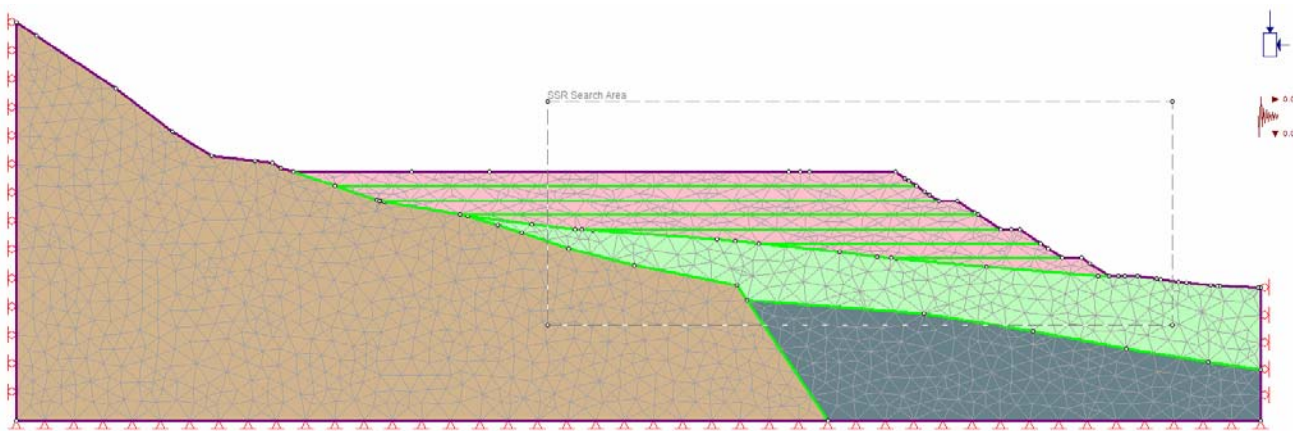


Figura 10.9 : Fase finale – completo riempimento e azione sismica

L'analisi di stabilità condotta sulla configurazione di completo riempimento del deposito con materiale inerte ha fornito un valore del coefficiente di sicurezza pari a 1.33, superiore al valore normativo.

<b>Stretto di Messina</b>	<b>Eurolink</b>	<b>Ponte sullo Stretto di Messina</b> <b>PROGETTO DEFINITIVO</b>		
CRA 3 – RELAZIONE GEOTECNICA E VERIFICHE DI STABILITÀ'		Codice documento CG1400PRBVCCZC4SD20000001	Rev F0	Data 08/06/2012

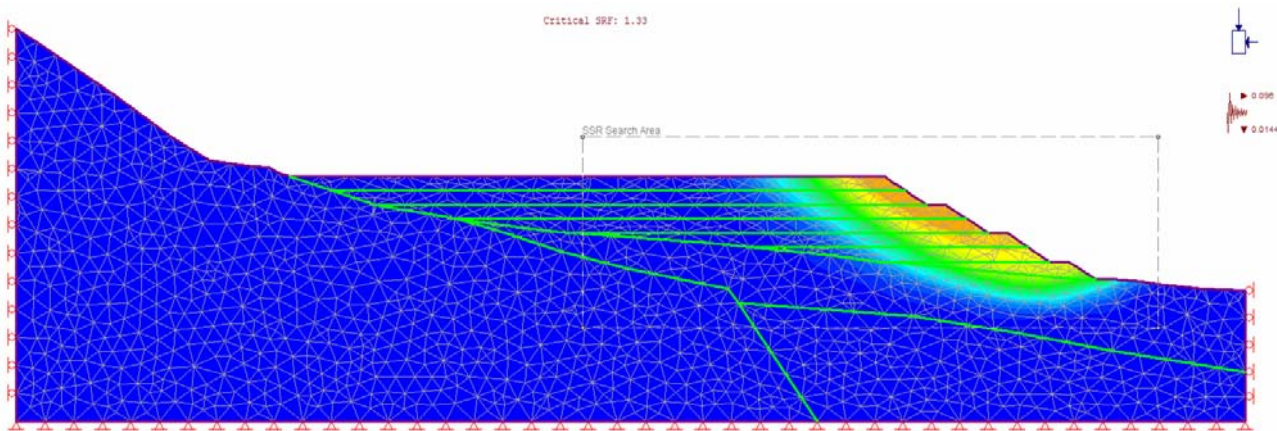


Figura 9.9 : Meccanismo di scivolamento - Spostamenti totali – Fase finale - SFR=1.33

## 11 TABULATI DI CALCOLO

### 11.1 Sezione 1 – tabulato di imput

#### Document Name

Sezione1\_stabilità\_sisma.fez

#### Project Settings

##### General

Project Title: Project1

Number of Stages: 18

Analysis Type: Plane Strain

Solver Type: Gaussian Elimination

Units: Metric, stress as kPa

##### Stress Analysis

Maximum Number of Iterations: 500

Tolerance: 0.001

Number of Load Steps: Automatic

Convergence Type: Absolute Energy

Tensile Failure: Reduces Shear Strength

##### Groundwater

Method: Piezometric Lines

Pore Fluid Unit Weight: 9.81 kN/m<sup>3</sup>

##### Strength Reduction

Initial Estimate of SRF: 1

Step Size: Automatic

Tolerance (SRF): 0.01

Limit SSR Search Area: Yes

minx: 79.883

maxx: 348.183

miny: 68.523

maxy: 180.287

		Ponte sullo Stretto di Messina PROGETTO DEFINITIVO
CRA 3 – RELAZIONE GEOTECNICA E VERIFICHE DI STABILITÀ'	Codice documento CG1400PRBVCCZC4SD20000001	Rev F0      Data 08/06/2012

Accelerate SSR Analysis: Yes  
 Convergence Parameters: Automatic

### **Seismic Loading**

Horizontal seismic load coefficient: -0.096 (positive to the right)  
 Vertical seismic load coefficient: -0.0144 (positive up)  
 Seismic load applied in: Stage 18

### **Mesh**

Mesh type: uniform  
 Element type: 3 noded triangles  
 Number of elements on Stage 1: 2243  
 Number of nodes on Stage 1: 1204  
 Number of elements on Stage 2: 2308  
 Number of nodes on Stage 2: 1230  
 Number of elements on Stage 3: 2370  
 Number of nodes on Stage 3: 1262  
 Number of elements on Stage 4: 2428  
 Number of nodes on Stage 4: 1291  
 Number of elements on Stage 5: 2483  
 Number of nodes on Stage 5: 1318  
 Number of elements on Stage 6: 2537  
 Number of nodes on Stage 6: 1345  
 Number of elements on Stage 7: 2586  
 Number of nodes on Stage 7: 1370  
 Number of elements on Stage 8: 2623  
 Number of nodes on Stage 8: 1388  
 Number of elements on Stage 9: 2671  
 Number of nodes on Stage 9: 1412  
 Number of elements on Stage 10: 2711  
 Number of nodes on Stage 10: 1431  
 Number of elements on Stage 11: 2756  
 Number of nodes on Stage 11: 1453  
 Number of elements on Stage 12: 2797  
 Number of nodes on Stage 12: 1473  
 Number of elements on Stage 13: 2832  
 Number of nodes on Stage 13: 1490  
 Number of elements on Stage 14: 2867  
 Number of nodes on Stage 14: 1507  
 Number of elements on Stage 15: 2905  
 Number of nodes on Stage 15: 1526  
 Number of elements on Stage 16: 2943  
 Number of nodes on Stage 16: 1544  
 Number of elements on Stage 17: 2985  
 Number of nodes on Stage 17: 1566  
 Number of elements on Stage 18: 2985  
 Number of nodes on Stage 18: 1566

### **Reset Displacements**

Displacements reset after: Stage 1

		<b>Ponte sullo Stretto di Messina</b> <b>PROGETTO DEFINITIVO</b>		
CRA 3 – RELAZIONE GEOTECNICA E VERIFICHE DI STABILITÀ'	<i>Codice documento</i> CG1400PRBVCCZC4SD20000001	<i>Rev</i> F0	<i>Data</i> 08/06/2012	

## Material Properties

### Material: MATERIALE INERTE

Initial element loading: field stress & body force

Unit weight: 19 kN/m<sup>3</sup>

Elastic type: isotropic

Young's modulus: 30000 kPa

Poisson's ratio: 0.3

Failure criterion: Mohr-Coulomb

Tensile strength: 0 kPa

Peak friction angle: 29.25 degrees

Peak cohesion: 0 kPa

Material type: Plastic

Dilation Angle: 0 degrees

Residual Friction Angle: 29.25 degrees

Residual Cohesion: 0 kPa

Stage 1: Piezo to use: None

Hu Type: Auto

### Custom Field Stress:

Field stress: gravity

Ground surface elevation: 0 m

Unit weight of overburden: 27 kN/m<sup>3</sup>

Effective stress ratio (horizontal/vertical in-plane): 0.426

Effective stress ratio (horizontal/vertical out-of-plane): 0.426

Locked-in horizontal stress (in-plane): 0

Locked-in horizontal stress (out-of-plane): 0

### Material: ROCCIE GRANITICHE

Initial element loading: field stress & body force

Unit weight: 22 kN/m<sup>3</sup>

Elastic type: isotropic

Young's modulus: 600000 kPa

Poisson's ratio: 0.3

Failure criterion: Mohr-Coulomb

Tensile strength: 0 kPa

Peak friction angle: 32 degrees

Peak cohesion: 80 kPa

Material type: Plastic

Dilation Angle: 2 degrees

Residual Friction Angle: 32 degrees

Residual Cohesion: 80 kPa

Stage 1: Piezo to use: None

Hu Type: Auto

### Custom Field Stress:

Field stress: gravity

Ground surface elevation: 0 m

Unit weight of overburden: 27 kN/m<sup>3</sup>

Effective stress ratio (horizontal/vertical in-plane): 0.384

Effective stress ratio (horizontal/vertical out-of-plane): 0.384

Locked-in horizontal stress (in-plane): 0

Locked-in horizontal stress (out-of-plane): 0

### Material: MATERIALE DI RISULTA

Initial element loading: field stress & body force

		Ponte sullo Stretto di Messina PROGETTO DEFINITIVO
CRA 3 – RELAZIONE GEOTECNICA E VERIFICHE DI STABILITA'	Codice documento CG1400PRBVCCZC4SD20000001	Rev F0      Data 08/06/2012

Unit weight: 19 kN/m<sup>3</sup>  
 Elastic type: isotropic  
 Young's modulus: 30000 kPa  
 Poisson's ratio: 0.3  
 Failure criterion: Mohr-Coulomb  
 Tensile strength: 0 kPa  
 Peak friction angle: 26.56 degrees  
 Peak cohesion: 0 kPa  
 Material type: Plastic  
 Dilation Angle: 0 degrees  
 Residual Friction Angle: 26.56 degrees  
 Residual Cohesion: 0 kPa  
 Piezo to use: None  
 Ru value: 0  
Custom Field Stress:  
 Field stress: gravity  
 Ground surface elevation: 0 m  
 Unit weight of overburden: 27 kN/m<sup>3</sup>  
 Effective stress ratio (horizontal/vertical in-plane): 0.47  
 Effective stress ratio (horizontal/vertical out-of-plane): 0.47  
 Locked-in horizontal stress (in-plane): 0  
 Locked-in horizontal stress (out-of-plane): 0

### List of All Coordinates

#### External boundary

55.947	70.306
43.780	64.519
41.139	64.052
40.140	63.837
36.587	64.132
35.095	64.240
33.692	64.289
29.549	64.480
26.191	62.415
22.443	59.578
13.533	53.345
11.381	51.945
6.827	48.566
2.471	45.730
0.000	44.673
0.000	0.000
416.632	0.000
416.632	216.459
416.032	216.483
415.058	216.519
412.792	216.591
411.872	216.621
410.685	216.493
409.552	216.345
403.575	215.386
400.104	213.302
398.043	210.386
393.366	206.260
392.845	205.795

		Ponte sullo Stretto di Messina PROGETTO DEFINITIVO
CRA 3 – RELAZIONE GEOTECNICA E VERIFICHE DI STABILITA'	Codice documento CG1400PRBVCCZC4SD20000001	Rev F0      Data 08/06/2012

391.488	204.618
386.850	200.386
383.674	197.533
381.383	195.386
379.393	192.680
374.012	187.070
368.361	180.505
367.784	180.116
359.725	175.386
351.008	170.827
350.185	170.386
344.929	167.647
340.870	165.515
340.832	165.515
333.338	165.503
331.687	165.500
310.236	165.470
300.081	165.455
292.081	165.443
280.212	165.423
258.855	165.386
253.642	161.911
252.369	161.062
251.415	160.427
243.864	155.392
241.525	155.388
240.400	155.386
232.900	150.386
228.365	147.363
225.390	145.379
224.463	145.381
222.400	145.386
214.209	139.925
209.714	136.929
206.028	134.472
196.471	134.390
195.885	134.265
188.697	129.473
181.198	124.474
180.492	124.466
173.318	124.386
169.672	121.967
166.783	120.050
160.116	115.625
158.681	115.606
142.436	115.386
135.113	110.506
134.456	110.067
127.432	105.386
124.432	105.386
115.535	99.457
113.389	98.026
109.125	95.184
106.639	93.527
103.024	91.118

		Ponte sullo Stretto di Messina PROGETTO DEFINITIVO
CRA 3 – RELAZIONE GEOTECNICA E VERIFICHE DI STABILITA'	Codice documento CG1400PRBVCCZC4SD20000001	Rev F0      Data 08/06/2012

99.920 89.049  
 97.637 87.527  
 94.713 85.578  
 90.848 82.940  
 88.185 82.868  
 84.489 82.789  
 73.670 78.058

Material boundary

90.848 82.940  
 95.892 81.150  
 96.805 80.883

Material boundary

300.738 142.345  
 304.395 145.379

Material boundary

106.639 93.527  
 232.129 93.527  
 235.335 96.511  
 237.903 96.665  
 242.039 97.421  
 244.381 99.457  
 248.303 102.866  
 251.397 105.386  
 253.320 107.913  
 255.589 110.506  
 257.625 112.832  
 263.321 113.182  
 269.288 115.625  
 275.869 118.320  
 277.424 120.050  
 278.354 121.084  
 280.619 124.004  
 281.053 124.474  
 281.895 125.386  
 283.499 126.705  
 287.302 129.473  
 288.557 130.386  
 292.393 133.679  
 293.264 134.472  
 294.269 135.386  
 297.543 139.307  
 298.056 139.925  
 298.438 140.386  
 300.738 142.345  
 303.651 144.838  
 304.395 145.379  
 304.405 145.386  
 308.269 147.267  
 313.634 150.386  
 320.381 154.307  
 322.269 155.386  
 322.281 155.392

		Ponte sullo Stretto di Messina PROGETTO DEFINITIVO
CRA 3 – RELAZIONE GEOTECNICA E VERIFICHE DI STABILITA'	Codice documento CG1400PRBVCCZC4SD20000001	Rev F0      Data 08/06/2012

326.128        157.375  
 331.568        160.386  
 331.640        160.427  
 339.559        164.826  
 340.584        165.386  
 340.832        165.515

Material boundary  
 251.397        105.386  
 127.432        105.386

Material boundary  
 269.288        115.625  
 160.116        115.625

Material boundary  
 281.053        124.474  
 181.198        124.474

Material boundary  
 293.264        134.472  
 206.028        134.472

Material boundary  
 304.395        145.379  
 225.390        145.379

Material boundary  
 322.281        155.392  
 243.864        155.392

Material boundary  
 90.848 82.940  
 96.805 80.883  
 109.852        80.648  
 112.315        80.661  
 115.073        80.743  
 125.805        81.154  
 131.297        81.291  
 138.617        81.360  
 140.134        81.390  
 146.670        81.439  
 149.595        81.513  
 152.124        81.557  
 159.565        81.688  
 163.739        81.709  
 170.147        81.844  
 174.869        81.975  
 180.509        82.145  
 185.503        82.341  
 190.475        82.438  
 196.237        82.582  
 200.736        82.685  
 209.635        83.033  
 214.336        83.311

		Ponte sullo Stretto di Messina PROGETTO DEFINITIVO
CRA 3 – RELAZIONE GEOTECNICA E VERIFICHE DI STABILITA'	Codice documento CG1400PRBVCCZC4SD20000001	Rev F0      Data 08/06/2012

220.553 83.657  
 225.092 87.527  
 232.129 93.527

Material boundary

40.140 63.837  
 44.348 63.628  
 49.302 63.843  
 54.762 64.498  
 60.440 66.171  
 66.795 69.062  
 70.846 70.821  
 75.727 71.119  
 78.796 72.577  
 82.290 73.595  
 85.493 75.560  
 89.133 78.179  
 92.045 80.071  
 93.574 80.653  
 96.805 80.883

Material boundary

225.092 87.527  
 97.637 87.527

Material boundary

244.381 99.457  
 115.535 99.457

Material boundary

255.589 110.506  
 135.113 110.506

Material boundary

277.424 120.050  
 166.783 120.050

Material boundary

287.302 129.473  
 188.697 129.473

Material boundary

298.056 139.925  
 214.209 139.925

Material boundary

313.634 150.386  
 232.900 150.386

Material boundary

331.640 160.427  
 251.415 160.427

SSR Search Area

79.883 68.523

		<b>Ponte sullo Stretto di Messina</b> <b>PROGETTO DEFINITIVO</b>		
CRA 3 – RELAZIONE GEOTECNICA E VERIFICHE DI STABILITÀ'		<i>Codice documento</i> CG1400PRBVCCZC4SD20000001	<i>Rev</i> F0	<i>Data</i> 08/06/2012

348.183 68.523  
 348.183 180.287  
 79.883 180.287

## 11.2 Sezione 1 – tabulato di output

### Shear Strength Reduction - Material Properties

#### Strength Reduction Factor: 1

Converged: yes

##### Material: MATERIALE INERTE

Peak friction angle: 29.26 degrees

Peak cohesion: 0 kPa

Residual Friction Angle: 29.26 degrees

Residual Cohesion: 0 kPa

##### Material: ROCCIE GRANITICHE

Peak friction angle: 32 degrees

Peak cohesion: 80 kPa

Residual Friction Angle: 32 degrees

Residual Cohesion: 80 kPa

##### Material: MATERIALE DI RISULTA

Peak friction angle: 26.56 degrees

Peak cohesion: 0 kPa

Residual Friction Angle: 26.56 degrees

Residual Cohesion: 0 kPa

#### Critical Strength Reduction Factor: 1.12

Converged: yes

##### Material: MATERIALE INERTE

Peak friction angle: 26.5755 degrees

Peak cohesion: 0 kPa

Residual Friction Angle: 26.5755 degrees

Residual Cohesion: 0 kPa

##### Material: ROCCIE GRANITICHE

Peak friction angle: 29.158 degrees

Peak cohesion: 71.4286 kPa

Residual Friction Angle: 29.158 degrees

Residual Cohesion: 71.4286 kPa

##### Material: MATERIALE DI RISULTA

Peak friction angle: 24.0526 degrees

Peak cohesion: 0 kPa

Residual Friction Angle: 24.0526 degrees

Residual Cohesion: 0 kPa

#### Strength Reduction Factor: 1.13

Converged: no

##### Material: MATERIALE INERTE

Peak friction angle: 26.3723 degrees

Peak cohesion: 0 kPa

Residual Friction Angle: 26.3723 degrees

Residual Cohesion: 0 kPa

##### Material: ROCCIE GRANITICHE

Peak friction angle: 28.9418 degrees

		<b>Ponte sullo Stretto di Messina</b> <b>PROGETTO DEFINITIVO</b>		
CRA 3 – RELAZIONE GEOTECNICA E VERIFICHE DI STABILITÀ'	<i>Codice documento</i> CG1400PRBVCCZC4SD20000001	<i>Rev</i> F0	<i>Data</i> 08/06/2012	

Peak cohesion: 70.7965 kPa  
 Residual Friction Angle: 28.9418 degrees  
 Residual Cohesion: 70.7965 kPa  
Material: MATERIALE DI RISULTA  
 Peak friction angle: 23.8637 degrees  
 Peak cohesion: 0 kPa  
 Residual Friction Angle: 23.8637 degrees  
 Residual Cohesion: 0 kPa

Strength Reduction Factor: 1.14

Converged: no  
Material: MATERIALE INERTE  
 Peak friction angle: 26.1719 degrees  
 Peak cohesion: 0 kPa  
 Residual Friction Angle: 26.1719 degrees  
 Residual Cohesion: 0 kPa  
Material: ROCCIE GRANITICHE  
 Peak friction angle: 28.7285 degrees  
 Peak cohesion: 70.1754 kPa  
 Residual Friction Angle: 28.7285 degrees  
 Residual Cohesion: 70.1754 kPa  
Material: MATERIALE DI RISULTA  
 Peak friction angle: 23.6774 degrees  
 Peak cohesion: 0 kPa  
 Residual Friction Angle: 23.6774 degrees  
 Residual Cohesion: 0 kPa

Strength Reduction Factor: 1.18

Converged: no  
Material: MATERIALE INERTE  
 Peak friction angle: 25.3981 degrees  
 Peak cohesion: 0 kPa  
 Residual Friction Angle: 25.3981 degrees  
 Residual Cohesion: 0 kPa  
Material: ROCCIE GRANITICHE  
 Peak friction angle: 27.9035 degrees  
 Peak cohesion: 67.7966 kPa  
 Residual Friction Angle: 27.9035 degrees  
 Residual Cohesion: 67.7966 kPa  
Material: MATERIALE DI RISULTA  
 Peak friction angle: 22.9592 degrees  
 Peak cohesion: 0 kPa  
 Residual Friction Angle: 22.9592 degrees  
 Residual Cohesion: 0 kPa

Strength Reduction Factor: 1.25

Converged: no  
Material: MATERIALE INERTE  
 Peak friction angle: 24.1422 degrees  
 Peak cohesion: 0 kPa  
 Residual Friction Angle: 24.1422 degrees  
 Residual Cohesion: 0 kPa  
Material: ROCCIE GRANITICHE  
 Peak friction angle: 26.5603 degrees  
 Peak cohesion: 64 kPa

		<b>Ponte sullo Stretto di Messina</b> <b>PROGETTO DEFINITIVO</b>		
CRA 3 – RELAZIONE GEOTECNICA E VERIFICHE DI STABILITÀ'	<i>Codice documento</i> CG1400PRBVCCZC4SD20000001	<i>Rev</i> F0	<i>Data</i> 08/06/2012	

Residual Friction Angle: 26.5603 degrees

Residual Cohesion: 64 kPa

Material: MATERIALE DI RISULTA

Peak friction angle: 21.7971 degrees

Peak cohesion: 0 kPa

Residual Friction Angle: 21.7971 degrees

Residual Cohesion: 0 kPa

Strength Reduction Factor: 1.5

Converged: no

Material: MATERIALE INERTE

Peak friction angle: 20.4809 degrees

Peak cohesion: 0 kPa

Residual Friction Angle: 20.4809 degrees

Residual Cohesion: 0 kPa

Material: ROCCIE GRANITICHE

Peak friction angle: 22.6156 degrees

Peak cohesion: 53.3333 kPa

Residual Friction Angle: 22.6156 degrees

Residual Cohesion: 53.3333 kPa

Material: MATERIALE DI RISULTA

Peak friction angle: 18.4312 degrees

Peak cohesion: 0 kPa

Residual Friction Angle: 18.4312 degrees

Residual Cohesion: 0 kPa

## Areas of Excavated and Filled Elements

### Stage 2

Material: MATERIALE INERTE, Area Filled: 736.072 m<sup>2</sup>

### Stage 3

Material: MATERIALE INERTE, Area Filled: 758.836 m<sup>2</sup>

### Stage 4

Material: MATERIALE INERTE, Area Filled: 751.702 m<sup>2</sup>

### Stage 5

Material: MATERIALE INERTE, Area Filled: 758.109 m<sup>2</sup>

### Stage 6

Material: MATERIALE INERTE, Area Filled: 625.328 m<sup>2</sup>

### Stage 7

Material: MATERIALE INERTE, Area Filled: 625.438 m<sup>2</sup>

### Stage 8

Material: MATERIALE INERTE, Area Filled: 489.891 m<sup>2</sup>

### Stage 9

Material: MATERIALE INERTE, Area Filled: 482.560 m<sup>2</sup>

### Stage 10

Material: MATERIALE INERTE, Area Filled: 494.980 m<sup>2</sup>

		<b>Ponte sullo Stretto di Messina</b> <b>PROGETTO DEFINITIVO</b>		
CRA 3 – RELAZIONE GEOTECNICA E VERIFICHE DI STABILITÀ'	<i>Codice documento</i> CG1400PRBVCCZC4SD20000001	<i>Rev</i> F0	<i>Data</i> 08/06/2012	

#### Stage 11

Material: MATERIALE INERTE, Area Filled: 489.104 m<sup>2</sup>

#### Stage 12

Material: MATERIALE INERTE, Area Filled: 467.089 m<sup>2</sup>

#### Stage 13

Material: MATERIALE INERTE, Area Filled: 451.631 m<sup>2</sup>

#### Stage 14

Material: MATERIALE INERTE, Area Filled: 400.832 m<sup>2</sup>

#### Stage 15

Material: MATERIALE INERTE, Area Filled: 406.960 m<sup>2</sup>

#### Stage 16

Material: MATERIALE INERTE, Area Filled: 399.741 m<sup>2</sup>

#### Stage 17

Material: MATERIALE INERTE, Area Filled: 407.031 m<sup>2</sup>

### **Excavation Areas**

#### Original Un-deformed Areas

External Boundary Area: 55132.926 m<sup>2</sup>

External Boundary Perimeter: 1147.859 m

#### Stage 1

External Boundary Area: 55132.926 m<sup>2</sup> (0 m<sup>2</sup> change from original area)

External Boundary Perimeter: 1147.859 m (0 m change from original perimeter)

#### Stage 2

External Boundary Area: 55132.819 m<sup>2</sup> (-0.106715 m<sup>2</sup> change from original area)

External Boundary Perimeter: 1147.862 m (0.00304635 m change from original perimeter)

#### Stage 3

External Boundary Area: 55132.620 m<sup>2</sup> (-0.306247 m<sup>2</sup> change from original area)

External Boundary Perimeter: 1147.864 m (0.00476343 m change from original perimeter)

#### Stage 4

External Boundary Area: 55132.243 m<sup>2</sup> (-0.682928 m<sup>2</sup> change from original area)

External Boundary Perimeter: 1147.865 m (0.00613857 m change from original perimeter)

#### Stage 5

External Boundary Area: 55131.664 m<sup>2</sup> (-1.26229 m<sup>2</sup> change from original area)

External Boundary Perimeter: 1147.870 m (0.0107256 m change from original perimeter)

#### Stage 6

External Boundary Area: 55131.238 m<sup>2</sup> (-1.68847 m<sup>2</sup> change from original area)

External Boundary Perimeter: 1147.875 m (0.0162507 m change from original perimeter)

#### Stage 7

External Boundary Area: 55129.590 m<sup>2</sup> (-3.33604 m<sup>2</sup> change from original area)

External Boundary Perimeter: 1147.890 m (0.0309735 m change from original perimeter)

		<b>Ponte sullo Stretto di Messina</b> <b>PROGETTO DEFINITIVO</b>		
CRA 3 – RELAZIONE GEOTECNICA E VERIFICHE DI STABILITÀ'	<i>Codice documento</i> CG1400PRBVCCZC4SD20000001	<i>Rev</i> F0	<i>Data</i> 08/06/2012	

#### Stage 8

External Boundary Area: 55129.220 m<sup>2</sup> (-3.70669 m<sup>2</sup> change from original area)  
 External Boundary Perimeter: 1147.906 m (0.0469345 m change from original perimeter)

#### Stage 9

External Boundary Area: 55128.159 m<sup>2</sup> (-4.76725 m<sup>2</sup> change from original area)  
 External Boundary Perimeter: 1147.924 m (0.064931 m change from original perimeter)

#### Stage 10

External Boundary Area: 55127.472 m<sup>2</sup> (-5.45387 m<sup>2</sup> change from original area)  
 External Boundary Perimeter: 1147.937 m (0.0783907 m change from original perimeter)

#### Stage 11

External Boundary Area: 55126.049 m<sup>2</sup> (-6.87737 m<sup>2</sup> change from original area)  
 External Boundary Perimeter: 1147.956 m (0.0975591 m change from original perimeter)

#### Stage 12

External Boundary Area: 55125.147 m<sup>2</sup> (-7.77959 m<sup>2</sup> change from original area)  
 External Boundary Perimeter: 1147.973 m (0.114304 m change from original perimeter)

#### Stage 13

External Boundary Area: 55124.184 m<sup>2</sup> (-8.74229 m<sup>2</sup> change from original area)  
 External Boundary Perimeter: 1147.988 m (0.129315 m change from original perimeter)

#### Stage 14

External Boundary Area: 55123.401 m<sup>2</sup> (-9.52539 m<sup>2</sup> change from original area)  
 External Boundary Perimeter: 1147.998 m (0.139402 m change from original perimeter)

#### Stage 15

External Boundary Area: 55122.293 m<sup>2</sup> (-10.6332 m<sup>2</sup> change from original area)  
 External Boundary Perimeter: 1148.010 m (0.150853 m change from original perimeter)

#### Stage 16

External Boundary Area: 55121.753 m<sup>2</sup> (-11.173 m<sup>2</sup> change from original area)  
 External Boundary Perimeter: 1148.020 m (0.161482 m change from original perimeter)

#### Stage 17

External Boundary Area: 55114.987 m<sup>2</sup> (-17.9395 m<sup>2</sup> change from original area)  
 External Boundary Perimeter: 1147.976 m (0.11709 m change from original perimeter)

#### Stage 18

External Boundary Area: 55109.047 m<sup>2</sup> (-23.8795 m<sup>2</sup> change from original area)  
 External Boundary Perimeter: 1147.877 m (0.0184691 m change from original perimeter)

### **Yielded Elements**

#### **Yielded Mesh Elements**

Number of yielded mesh elements on Stage 1: 228  
 Number of yielded mesh elements on Stage 2: 232  
 Number of yielded mesh elements on Stage 3: 237  
 Number of yielded mesh elements on Stage 4: 252  
 Number of yielded mesh elements on Stage 5: 276  
 Number of yielded mesh elements on Stage 6: 294  
 Number of yielded mesh elements on Stage 7: 310

		<b>Ponte sullo Stretto di Messina</b> <b>PROGETTO DEFINITIVO</b>		
CRA 3 – RELAZIONE GEOTECNICA E VERIFICHE DI STABILITÀ'	<i>Codice documento</i> CG1400PRBVCCZC4SD20000001	<i>Rev</i> F0	<i>Data</i> 08/06/2012	

Number of yielded mesh elements on Stage 8: 321  
 Number of yielded mesh elements on Stage 9: 342  
 Number of yielded mesh elements on Stage 10: 367  
 Number of yielded mesh elements on Stage 11: 397  
 Number of yielded mesh elements on Stage 12: 423  
 Number of yielded mesh elements on Stage 13: 444  
 Number of yielded mesh elements on Stage 14: 477  
 Number of yielded mesh elements on Stage 15: 508  
 Number of yielded mesh elements on Stage 16: 548  
 Number of yielded mesh elements on Stage 17: 588  
 Number of yielded mesh elements on Stage 18: 941

## 11.3 Sezione 4 - tabulato di imput

### Document Name

Sezione4\_stabilità\_sisma.fez

### Project Settings

#### General

Project Title: Project1

Number of Stages: 11

Analysis Type: Plane Strain

Solver Type: Gaussian Elimination

Units: Metric, stress as kPa

#### Stress Analysis

Maximum Number of Iterations: 500

Tolerance: 0.001

Number of Load Steps: Automatic

Convergence Type: Absolute Energy

Tensile Failure: Reduces Shear Strength

#### Groundwater

Method: Piezometric Lines

Pore Fluid Unit Weight: 9.81 kN/m<sup>3</sup>

#### Strength Reduction

Initial Estimate of SRF: 1

Step Size: Automatic

Tolerance (SRF): 0.01

Limit SSR Search Area: Yes

minx: 41.297

maxx: 124.565

miny: 31.943

maxy: 79.809

Accelerate SSR Analysis: Yes

Convergence Parameters: Automatic

### Seismic Loading

Horizontal seismic load coefficient: 0.096 (positive to the right)

Vertical seismic load coefficient: -0.0144 (positive up)

Seismic load applied in: Stage 11

		Ponte sullo Stretto di Messina PROGETTO DEFINITIVO
CRA 3 – RELAZIONE GEOTECNICA E VERIFICHE DI STABILITÀ'	Codice documento CG1400PRBVCCZC4SD20000001	Rev F0      Data 08/06/2012

## Mesh

Mesh type: uniform  
 Element type: 3 noded triangles  
 Number of elements on Stage 1: 2260  
 Number of nodes on Stage 1: 1182  
 Number of elements on Stage 2: 2273  
 Number of nodes on Stage 2: 1189  
 Number of elements on Stage 3: 2289  
 Number of nodes on Stage 3: 1198  
 Number of elements on Stage 4: 2311  
 Number of nodes on Stage 4: 1209  
 Number of elements on Stage 5: 2336  
 Number of nodes on Stage 5: 1222  
 Number of elements on Stage 6: 2368  
 Number of nodes on Stage 6: 1238  
 Number of elements on Stage 7: 2390  
 Number of nodes on Stage 7: 1248  
 Number of elements on Stage 8: 2424  
 Number of nodes on Stage 8: 1266  
 Number of elements on Stage 9: 2442  
 Number of nodes on Stage 9: 1275  
 Number of elements on Stage 10: 2462  
 Number of nodes on Stage 10: 1285  
 Number of elements on Stage 11: 2462  
 Number of nodes on Stage 11: 1285

## Reset Displacements

Displacements reset after: Stage 1

## Material Properties

### Material: MATERIALE INERTE

Initial element loading: field stress & body force

Unit weight: 19 kN/m<sup>3</sup>

Elastic type: isotropic

Young's modulus: 30000 kPa

Poisson's ratio: 0.3

Failure criterion: Mohr-Coulomb

Tensile strength: 0 kPa

Peak friction angle: 29.25 degrees

Peak cohesion: 0 kPa

Material type: Plastic

Dilation Angle: 0 degrees

Residual Friction Angle: 29.25 degrees

Residual Cohesion: 0 kPa

Stage 1: Piezo to use: None

Hu Type: Auto

### Custom Field Stress:

Field stress: gravity

Ground surface elevation: 0 m

Unit weight of overburden: 27 kN/m<sup>3</sup>

Effective stress ratio (horizontal/vertical in-plane): 0.426

		<b>Ponte sullo Stretto di Messina</b> <b>PROGETTO DEFINITIVO</b>		
CRA 3 – RELAZIONE GEOTECNICA E VERIFICHE DI STABILITÀ'	<i>Codice documento</i> CG1400PRBVCCZC4SD20000001	<i>Rev</i> F0	<i>Data</i> 08/06/2012	

Effective stress ratio (horizontal/vertical out-of-plane): 0.426

Locked-in horizontal stress (in-plane): 0

Locked-in horizontal stress (out-of-plane): 0

#### Material: ROCCIE GRANITICHE

Initial element loading: field stress & body force

Unit weight: 22 kN/m<sup>3</sup>

Elastic type: isotropic

Young's modulus: 600000 kPa

Poisson's ratio: 0.3

Failure criterion: Mohr-Coulomb

Tensile strength: 0 kPa

Peak friction angle: 32 degrees

Peak cohesion: 80 kPa

Material type: Plastic

Dilation Angle: 2 degrees

Residual Friction Angle: 32 degrees

Residual Cohesion: 80 kPa

Stage 1: Piezo to use: None

Hu Type: Auto

#### Custom Field Stress:

Field stress: gravity

Ground surface elevation: 0 m

Unit weight of overburden: 27 kN/m<sup>3</sup>

Effective stress ratio (horizontal/vertical in-plane): 0.385

Effective stress ratio (horizontal/vertical out-of-plane): 0.385

Locked-in horizontal stress (in-plane): 0

Locked-in horizontal stress (out-of-plane): 0

#### Material: DEPOSITI ALLUVIONALI

Initial element loading: field stress & body force

Unit weight: 18 kN/m<sup>3</sup>

Elastic type: isotropic

Young's modulus: 20000 kPa

Poisson's ratio: 0.3

Failure criterion: Mohr-Coulomb

Tensile strength: 0 kPa

Peak friction angle: 24.8 degrees

Peak cohesion: 0 kPa

Material type: Plastic

Dilation Angle: 0 degrees

Residual Friction Angle: 24.8 degrees

Residual Cohesion: 0 kPa

Piezo to use: None

Ru value: 0

#### Custom Field Stress:

Field stress: gravity

Ground surface elevation: 0 m

Unit weight of overburden: 27 kN/m<sup>3</sup>

Effective stress ratio (horizontal/vertical in-plane): 0.5

Effective stress ratio (horizontal/vertical out-of-plane): 0.5

Locked-in horizontal stress (in-plane): 0

Locked-in horizontal stress (out-of-plane): 0

#### Material: MATERIALE DI RISULTA

		Ponte sullo Stretto di Messina PROGETTO DEFINITIVO
CRA 3 – RELAZIONE GEOTECNICA E VERIFICHE DI STABILITA'	Codice documento CG1400PRBVCCZC4SD20000001	Rev F0      Data 08/06/2012

Initial element loading: field stress & body force

Unit weight: 19 kN/m<sup>3</sup>

Elastic type: isotropic

Young's modulus: 30000 kPa

Poisson's ratio: 0.3

Failure criterion: Mohr-Coulomb

Tensile strength: 0 kPa

Peak friction angle: 26.56 degrees

Peak cohesion: 0 kPa

Material type: Plastic

Dilation Angle: 0 degrees

Residual Friction Angle: 26.56 degrees

Residual Cohesion: 0 kPa

Piezo to use: None

Ru value: 0

#### Custom Field Stress:

Field stress: gravity

Ground surface elevation: 0 m

Unit weight of overburden: 27 kN/m<sup>3</sup>

Effective stress ratio (horizontal/vertical in-plane): 0.47

Effective stress ratio (horizontal/vertical out-of-plane): 0.47

Locked-in horizontal stress (in-plane): 0

Locked-in horizontal stress (out-of-plane): 0

### List of All Coordinates

#### External boundary

37.276 75.793

35.211 75.850

31.280 75.851

24.023 81.694

20.067 84.939

15.026 89.074

7.907 89.062

7.656 89.059

6.416 89.042

0.000 88.983

0.000 85.995

0.000 0.000

152.093 -0.000

152.093 28.339

152.093 35.410

132.907 39.024

119.635 41.796

118.511 42.546

114.262 45.378

111.135 45.378

110.261 45.378

109.149 46.120

108.415 46.609

105.984 48.229

105.761 48.378

103.602 49.818

102.593 50.490

101.261 51.378

		Ponte sullo Stretto di Messina PROGETTO DEFINITIVO
CRA 3 – RELAZIONE GEOTECNICA E VERIFICHE DI STABILITA'	Codice documento CG1400PRBVCCZC4SD20000001	Rev F0      Data 08/06/2012

97.881 51.378  
 92.629 54.878  
 90.629 56.212  
 87.377 58.378  
 84.623 58.378  
 83.376 58.378  
 78.875 61.378  
 77.204 62.492  
 74.376 64.378  
 70.374 64.378  
 65.873 67.378  
 64.292 68.432  
 61.371 70.378  
 44.757 70.378

Material boundary

44.757 70.378  
 48.902 67.378  
 53.046 64.378  
 57.191 61.378  
 58.639 60.330  
 61.007 58.796  
 61.863 58.378  
 68.877 54.952  
 69.148 54.878  
 82.085 51.378  
 84.195 50.807  
 90.805 49.417  
 92.627 48.378  
 93.567 47.843  
 96.814 46.274  
 100.562 42.497  
 105.292 39.581  
 113.684 35.806  
 121.917 33.468  
 138.486 30.264  
 152.093 28.339

Material boundary

20.067 84.939  
 0.000 85.995

Material boundary

119.635 41.796  
 117.466 42.249  
 102.203 45.198  
 101.300 45.378  
 96.814 46.274

Material boundary

101.300 45.378  
 110.261 45.378

Material boundary

82.085 51.378

		Ponte sullo Stretto di Messina PROGETTO DEFINITIVO
CRA 3 – RELAZIONE GEOTECNICA E VERIFICHE DI STABILITA'	Codice documento CG1400PRBVCCZC4SD20000001	Rev F0      Data 08/06/2012

97.881 51.378

Material boundary

61.863 58.378

83.376 58.378

Material boundary

53.046 64.378

70.374 64.378

Material boundary

48.902 67.378

65.873 67.378

Material boundary

57.191 61.378

78.875 61.378

Material boundary

69.148 54.878

92.629 54.878

Material boundary

92.627 48.378

105.761 48.378

SSR Search Area

41.297 31.943

124.565 31.943

124.565 79.809

41.297 79.809

## 11.4 Sezione 4 - tabulato di output

Strength Reduction Factor: 1

Converged: yes

Material: MATERIALE INERTE

Peak friction angle: 29.25 degrees

Peak cohesion: 0 kPa

Residual Friction Angle: 29.25 degrees

Residual Cohesion: 0 kPa

Material: ROCCIE GRANITICHE

Peak friction angle: 32 degrees

Peak cohesion: 80 kPa

Residual Friction Angle: 32 degrees

Residual Cohesion: 80 kPa

Material: DEPOSITI ALLUVIONALI

Peak friction angle: 24.8 degrees

Peak cohesion: 0 kPa

Residual Friction Angle: 24.8 degrees

Residual Cohesion: 0 kPa

Material: MATERIALE DI RISULTA

Peak friction angle: 26.56 degrees

Peak cohesion: 0 kPa

		<b>Ponte sullo Stretto di Messina</b> <b>PROGETTO DEFINITIVO</b>		
CRA 3 – RELAZIONE GEOTECNICA E VERIFICHE DI STABILITÀ'	<i>Codice documento</i> CG1400PRBVCCZC4SD20000001	<i>Rev</i> F0	<i>Data</i> 08/06/2012	

Residual Friction Angle: 26.56 degrees  
 Residual Cohesion: 0 kPa

Strength Reduction Factor: 1.12

Converged: yes

Material: MATERIALE INERTE

Peak friction angle: 26.5662 degrees  
 Peak cohesion: 0 kPa

Residual Friction Angle: 26.5662 degrees  
 Residual Cohesion: 0 kPa

Material: ROCCIE GRANITICHE

Peak friction angle: 29.158 degrees  
 Peak cohesion: 71.4286 kPa

Residual Friction Angle: 29.158 degrees

Residual Cohesion: 71.4286 kPa

Material: DEPOSITI ALLUVIONALI

Peak friction angle: 22.419 degrees

Peak cohesion: 0 kPa

Residual Friction Angle: 22.419 degrees

Residual Cohesion: 0 kPa

Material: MATERIALE DI RISULTA

Peak friction angle: 24.0526 degrees

Peak cohesion: 0 kPa

Residual Friction Angle: 24.0526 degrees

Residual Cohesion: 0 kPa

Strength Reduction Factor: 1.18

Converged: yes

Material: MATERIALE INERTE

Peak friction angle: 25.389 degrees  
 Peak cohesion: 0 kPa

Residual Friction Angle: 25.389 degrees

Residual Cohesion: 0 kPa

Material: ROCCIE GRANITICHE

Peak friction angle: 27.9035 degrees

Peak cohesion: 67.7966 kPa

Residual Friction Angle: 27.9035 degrees

Residual Cohesion: 67.7966 kPa

Material: DEPOSITI ALLUVIONALI

Peak friction angle: 21.3843 degrees

Peak cohesion: 0 kPa

Residual Friction Angle: 21.3843 degrees

Residual Cohesion: 0 kPa

Material: MATERIALE DI RISULTA

Peak friction angle: 22.9592 degrees

Peak cohesion: 0 kPa

Residual Friction Angle: 22.9592 degrees

Residual Cohesion: 0 kPa

Strength Reduction Factor: 1.19

Converged: yes

Material: MATERIALE INERTE

Peak friction angle: 25.2022 degrees

Peak cohesion: 0 kPa

Residual Friction Angle: 25.2022 degrees

		<b>Ponte sullo Stretto di Messina</b> <b>PROGETTO DEFINITIVO</b>		
CRA 3 – RELAZIONE GEOTECNICA E VERIFICHE DI STABILITÀ'	<i>Codice documento</i> CG1400PRBVCCZC4SD20000001	<i>Rev</i> F0	<i>Data</i> 08/06/2012	

Residual Cohesion: 0 kPa

Material: ROCCIE GRANITICHE

Peak friction angle: 27.704 degrees

Peak cohesion: 67.2269 kPa

Residual Friction Angle: 27.704 degrees

Residual Cohesion: 67.2269 kPa

Material: DEPOSITI ALLUVIONALI

Peak friction angle: 21.2207 degrees

Peak cohesion: 0 kPa

Residual Friction Angle: 21.2207 degrees

Residual Cohesion: 0 kPa

Material: MATERIALE DI RISULTA

Peak friction angle: 22.7861 degrees

Peak cohesion: 0 kPa

Residual Friction Angle: 22.7861 degrees

Residual Cohesion: 0 kPa

**Critical Strength Reduction Factor: 1.2**

Converged: yes

Material: MATERIALE INERTE

Peak friction angle: 25.0179 degrees

Peak cohesion: 0 kPa

Residual Friction Angle: 25.0179 degrees

Residual Cohesion: 0 kPa

Material: ROCCIE GRANITICHE

Peak friction angle: 27.5071 degrees

Peak cohesion: 66.6667 kPa

Residual Friction Angle: 27.5071 degrees

Residual Cohesion: 66.6667 kPa

Material: DEPOSITI ALLUVIONALI

Peak friction angle: 21.0594 degrees

Peak cohesion: 0 kPa

Residual Friction Angle: 21.0594 degrees

Residual Cohesion: 0 kPa

Material: MATERIALE DI RISULTA

Peak friction angle: 22.6154 degrees

Peak cohesion: 0 kPa

Residual Friction Angle: 22.6154 degrees

Residual Cohesion: 0 kPa

**Strength Reduction Factor: 1.21**

Converged: no

Material: MATERIALE INERTE

Peak friction angle: 24.8362 degrees

Peak cohesion: 0 kPa

Residual Friction Angle: 24.8362 degrees

Residual Cohesion: 0 kPa

Material: ROCCIE GRANITICHE

Peak friction angle: 27.3128 degrees

Peak cohesion: 66.1157 kPa

Residual Friction Angle: 27.3128 degrees

Residual Cohesion: 66.1157 kPa

Material: DEPOSITI ALLUVIONALI

Peak friction angle: 20.9004 degrees

Peak cohesion: 0 kPa

		<b>Ponte sullo Stretto di Messina</b> <b>PROGETTO DEFINITIVO</b>		
CRA 3 – RELAZIONE GEOTECNICA E VERIFICHE DI STABILITÀ'	<i>Codice documento</i> CG1400PRBVCCZC4SD20000001	<i>Rev</i> F0	<i>Data</i> 08/06/2012	

Residual Friction Angle: 20.9004 degrees

Residual Cohesion: 0 kPa

Material: MATERIALE DI RISULTA

Peak friction angle: 22.4471 degrees

Peak cohesion: 0 kPa

Residual Friction Angle: 22.4471 degrees

Residual Cohesion: 0 kPa

Strength Reduction Factor: 1.25

Converged: no

Material: MATERIALE INERTE

Peak friction angle: 24.1334 degrees

Peak cohesion: 0 kPa

Residual Friction Angle: 24.1334 degrees

Residual Cohesion: 0 kPa

Material: ROCCIE GRANITICHE

Peak friction angle: 26.5603 degrees

Peak cohesion: 64 kPa

Residual Friction Angle: 26.5603 degrees

Residual Cohesion: 64 kPa

Material: DEPOSITI ALLUVIONALI

Peak friction angle: 20.2869 degrees

Peak cohesion: 0 kPa

Residual Friction Angle: 20.2869 degrees

Residual Cohesion: 0 kPa

Material: MATERIALE DI RISULTA

Peak friction angle: 21.7971 degrees

Peak cohesion: 0 kPa

Residual Friction Angle: 21.7971 degrees

Residual Cohesion: 0 kPa

Strength Reduction Factor: 1.5

Converged: no

Material: MATERIALE INERTE

Peak friction angle: 20.4732 degrees

Peak cohesion: 0 kPa

Residual Friction Angle: 20.4732 degrees

Residual Cohesion: 0 kPa

Material: ROCCIE GRANITICHE

Peak friction angle: 22.6156 degrees

Peak cohesion: 53.3333 kPa

Residual Friction Angle: 22.6156 degrees

Residual Cohesion: 53.3333 kPa

Material: DEPOSITI ALLUVIONALI

Peak friction angle: 17.1211 degrees

Peak cohesion: 0 kPa

Residual Friction Angle: 17.1211 degrees

Residual Cohesion: 0 kPa

Material: MATERIALE DI RISULTA

Peak friction angle: 18.4312 degrees

Peak cohesion: 0 kPa

Residual Friction Angle: 18.4312 degrees

Residual Cohesion: 0 kPa

		<b>Ponte sullo Stretto di Messina</b> <b>PROGETTO DEFINITIVO</b>		
CRA 3 – RELAZIONE GEOTECNICA E VERIFICHE DI STABILITÀ'	<i>Codice documento</i> CG1400PRBVCCZC4SD20000001	<i>Rev</i> F0	<i>Data</i> 08/06/2012	

## Areas of Excavated and Filled Elements

### Stage 2

Material: MATERIALE INERTE, Area Filled: 22.994 m<sup>2</sup>

### Stage 3

Material: MATERIALE INERTE, Area Filled: 36.121 m<sup>2</sup>

### Stage 4

Material: MATERIALE INERTE, Area Filled: 46.144 m<sup>2</sup>

### Stage 5

Material: MATERIALE INERTE, Area Filled: 68.735 m<sup>2</sup>

### Stage 6

Material: MATERIALE INERTE, Area Filled: 85.950 m<sup>2</sup>

### Stage 7

Material: MATERIALE INERTE, Area Filled: 65.234 m<sup>2</sup>

### Stage 8

Material: MATERIALE INERTE, Area Filled: 64.519 m<sup>2</sup>

### Stage 9

Material: MATERIALE INERTE, Area Filled: 51.450 m<sup>2</sup>

### Stage 10

Material: MATERIALE INERTE, Area Filled: 50.379 m<sup>2</sup>

## Excavation Areas

### Original Un-deformed Areas

External Boundary Area: 9350.417 m<sup>2</sup>

External Boundary Perimeter: 444.311 m

### Stage 1

External Boundary Area: 9350.417 m<sup>2</sup> (0 m<sup>2</sup> change from original area)

External Boundary Perimeter: 444.311 m (0 m change from original perimeter)

### Stage 2

External Boundary Area: 9350.335 m<sup>2</sup> (-0.0817027 m<sup>2</sup> change from original area)

External Boundary Perimeter: 444.311 m (0.000151905 m change from original perimeter)

### Stage 3

External Boundary Area: 9350.290 m<sup>2</sup> (-0.127455 m<sup>2</sup> change from original area)

External Boundary Perimeter: 444.313 m (0.00240774 m change from original perimeter)

### Stage 4

External Boundary Area: 9350.201 m<sup>2</sup> (-0.215965 m<sup>2</sup> change from original area)

External Boundary Perimeter: 444.312 m (0.000939941 m change from original perimeter)

### Stage 5

External Boundary Area: 9350.151 m<sup>2</sup> (-0.265603 m<sup>2</sup> change from original area)

External Boundary Perimeter: 444.313 m (0.00209865 m change from original perimeter)

		<b>Ponte sullo Stretto di Messina</b> <b>PROGETTO DEFINITIVO</b>		
CRA 3 – RELAZIONE GEOTECNICA E VERIFICHE DI STABILITÀ'	<i>Codice documento</i> CG1400PRBVCCZC4SD20000001	<i>Rev</i> F0	<i>Data</i> 08/06/2012	

#### Stage 6

External Boundary Area: 9350.045 m<sup>2</sup> (-0.37234 m<sup>2</sup> change from original area)  
 External Boundary Perimeter: 444.313 m (0.0023159 m change from original perimeter)

#### Stage 7

External Boundary Area: 9349.991 m<sup>2</sup> (-0.425857 m<sup>2</sup> change from original area)  
 External Boundary Perimeter: 444.315 m (0.00390497 m change from original perimeter)

#### Stage 8

External Boundary Area: 9349.872 m<sup>2</sup> (-0.545194 m<sup>2</sup> change from original area)  
 External Boundary Perimeter: 444.315 m (0.00477721 m change from original perimeter)

#### Stage 9

External Boundary Area: 9349.807 m<sup>2</sup> (-0.610025 m<sup>2</sup> change from original area)  
 External Boundary Perimeter: 444.317 m (0.00680245 m change from original perimeter)

#### Stage 10

External Boundary Area: 9349.614 m<sup>2</sup> (-0.802968 m<sup>2</sup> change from original area)  
 External Boundary Perimeter: 444.312 m (0.00122221 m change from original perimeter)

#### Stage 11

External Boundary Area: 9349.562 m<sup>2</sup> (-0.854778 m<sup>2</sup> change from original area)  
 External Boundary Perimeter: 444.280 m (-0.0304695 m change from original perimeter)

### **Yielded Elements**

#### Yielded Mesh Elements

Number of yielded mesh elements on Stage 1: 71  
 Number of yielded mesh elements on Stage 2: 98  
 Number of yielded mesh elements on Stage 3: 110  
 Number of yielded mesh elements on Stage 4: 137  
 Number of yielded mesh elements on Stage 5: 153  
 Number of yielded mesh elements on Stage 6: 163  
 Number of yielded mesh elements on Stage 7: 176  
 Number of yielded mesh elements on Stage 8: 203  
 Number of yielded mesh elements on Stage 9: 227  
 Number of yielded mesh elements on Stage 10: 242  
 Number of yielded mesh elements on Stage 11: 359

### **11.5 Sezione 9 - tabulato di imput**

#### Document Name

Sezione9\_stabilità\_sisma.fez

#### Project Settings

##### General

Project Title: Project1  
 Number of Stages: 9  
 Analysis Type: Plane Strain  
 Solver Type: Gaussian Elimination

		<b>Ponte sullo Stretto di Messina</b> <b>PROGETTO DEFINITIVO</b>		
<b>CRA 3 – RELAZIONE GEOTECNICA E VERIFICHE DI STABILITÀ'</b>		<i>Codice documento</i> CG1400PRBVCCZC4SD20000001	<i>Rev</i> F0	<i>Data</i> 08/06/2012

Units: Metric, stress as kPa

#### Stress Analysis

Maximum Number of Iterations: 500

Tolerance: 0.001

Number of Load Steps: Automatic

Convergence Type: Absolute Energy

Tensile Failure: Reduces Shear Strength

#### Groundwater

Method: Piezometric Lines

Pore Fluid Unit Weight: 9.81 kN/m<sup>3</sup>

#### Strength Reduction

Initial Estimate of SRF: 1

Step Size: Automatic

Tolerance (SRF): 0.01

Limit SSR Search Area: Yes

minx: 120.087

maxx: 241.965

miny: 19.858

maxy: 60.51

Accelerate SSR Analysis: Yes

Convergence Parameters: Automatic

#### Seismic Loading

Horizontal seismic load coefficient: 0.096 (positive to the right)

Vertical seismic load coefficient: -0.0144 (positive up)

Seismic load applied in: Stage 9

#### Mesh

Mesh type: uniform

Element type: 3 noded triangles

Number of elements on Stage 1: 2148

Number of nodes on Stage 1: 1140

Number of elements on Stage 2: 2176

Number of nodes on Stage 2: 1154

Number of elements on Stage 3: 2224

Number of nodes on Stage 3: 1178

Number of elements on Stage 4: 2296

Number of nodes on Stage 4: 1214

Number of elements on Stage 5: 2387

Number of nodes on Stage 5: 1258

Number of elements on Stage 6: 2484

Number of nodes on Stage 6: 1306

Number of elements on Stage 7: 2581

Number of nodes on Stage 7: 1355

Number of elements on Stage 8: 2697

Number of nodes on Stage 8: 1415

Number of elements on Stage 9: 2697

Number of nodes on Stage 9: 1415

#### Reset Displacements

Displacements reset after: Stage 1

		<b>Ponte sullo Stretto di Messina</b> <b>PROGETTO DEFINITIVO</b>		
CRA 3 – RELAZIONE GEOTECNICA E VERIFICHE DI STABILITÀ'	<i>Codice documento</i> CG1400PRBVCCZC4SD20000001	<i>Rev</i> F0	<i>Data</i> 08/06/2012	

## Material Properties

### Material: MATERIALE INERTE

Initial element loading: field stress & body force

Unit weight: 19 kN/m<sup>3</sup>

Elastic type: isotropic

Young's modulus: 30000 kPa

Poisson's ratio: 0.3

Failure criterion: Mohr-Coulomb

Tensile strength: 0 kPa

Peak friction angle: 29.25 degrees

Peak cohesion: 0 kPa

Material type: Plastic

Dilation Angle: 0 degrees

Residual Friction Angle: 29.25 degrees

Residual Cohesion: 0 kPa

Stage 1: Piezo to use: None

Hu Type: Auto

### Custom Field Stress:

Field stress: gravity

Ground surface elevation: 0 m

Unit weight of overburden: 27 kN/m<sup>3</sup>

Effective stress ratio (horizontal/vertical in-plane): 0.426

Effective stress ratio (horizontal/vertical out-of-plane): 0.426

Locked-in horizontal stress (in-plane): 0

Locked-in horizontal stress (out-of-plane): 0

### Material: ROCCIE GRANITICHE

Initial element loading: field stress & body force

Unit weight: 22 kN/m<sup>3</sup>

Elastic type: isotropic

Young's modulus: 600000 kPa

Poisson's ratio: 0.3

Failure criterion: Mohr-Coulomb

Tensile strength: 0 kPa

Peak friction angle: 32 degrees

Peak cohesion: 80 kPa

Material type: Plastic

Dilation Angle: 2 degrees

Residual Friction Angle: 32 degrees

Residual Cohesion: 80 kPa

Stage 1: Piezo to use: None

Hu Type: Auto

### Custom Field Stress:

Field stress: gravity

Ground surface elevation: 0 m

Unit weight of overburden: 27 kN/m<sup>3</sup>

Effective stress ratio (horizontal/vertical in-plane): 0.385

Effective stress ratio (horizontal/vertical out-of-plane): 0.385

Locked-in horizontal stress (in-plane): 0

Locked-in horizontal stress (out-of-plane): 0

### Material: DEPOSITI ALLUVIONALI

Initial element loading: field stress & body force

		<b>Ponte sullo Stretto di Messina</b> <b>PROGETTO DEFINITIVO</b>		
CRA 3 – RELAZIONE GEOTECNICA E VERIFICHE DI STABILITA'		<i>Codice documento</i> CG1400PRBVCCZC4SD20000001	<i>Rev</i> F0	<i>Data</i> 08/06/2012

Unit weight: 18 kN/m<sup>3</sup>  
 Elastic type: isotropic  
 Young's modulus: 20000 kPa  
 Poisson's ratio: 0.3  
 Failure criterion: Mohr-Coulomb  
 Tensile strength: 0 kPa  
 Peak friction angle: 24.8 degrees  
 Peak cohesion: 0 kPa  
 Material type: Plastic  
 Dilation Angle: 0 degrees  
 Residual Friction Angle: 24.8 degrees  
 Residual Cohesion: 0 kPa  
 Piezo to use: None  
 Ru value: 0  
**Custom Field Stress:**  
 Field stress: gravity  
 Ground surface elevation: 0 m  
 Unit weight of overburden: 27 kN/m<sup>3</sup>  
 Effective stress ratio (horizontal/vertical in-plane): 0.5  
 Effective stress ratio (horizontal/vertical out-of-plane): 0.5  
 Locked-in horizontal stress (in-plane): 0  
 Locked-in horizontal stress (out-of-plane): 0

**Material: DEPOSITI MARINI**  
 Initial element loading: field stress & body force  
 Unit weight: 19 kN/m<sup>3</sup>  
 Elastic type: isotropic  
 Young's modulus: 25000 kPa  
 Poisson's ratio: 0.3  
 Failure criterion: Mohr-Coulomb  
 Tensile strength: 0 kPa  
 Peak friction angle: 23 degrees  
 Peak cohesion: 8 kPa  
 Material type: Plastic  
 Dilation Angle: 0 degrees  
 Residual Friction Angle: 23 degrees  
 Residual Cohesion: 8 kPa  
 Piezo to use: None  
 Ru value: 0  
**Custom Field Stress:**  
 Field stress: gravity  
 Ground surface elevation: 0 m  
 Unit weight of overburden: 27 kN/m<sup>3</sup>  
 Effective stress ratio (horizontal/vertical in-plane): 0.53  
 Effective stress ratio (horizontal/vertical out-of-plane): 0.53  
 Locked-in horizontal stress (in-plane): 0  
 Locked-in horizontal stress (out-of-plane): 0

### **List of All Coordinates**

#### External boundary

224.800	32.818
223.052	33.984
219.052	33.984
215.935	36.062

		Ponte sullo Stretto di Messina PROGETTO DEFINITIVO
CRA 3 – RELAZIONE GEOTECNICA E VERIFICHE DI STABILITA'	Codice documento CG1400PRBVCCZC4SD20000001	Rev F0      Data 08/06/2012

214.505	37.015
210.052	39.984
208.363	39.984
206.052	39.984
201.396	43.088
200.677	43.567
197.052	45.984
193.052	45.984
191.188	47.208
190.094	47.926
188.434	49.019
186.857	50.087
185.919	50.593
184.052	51.984
166.076	51.984
164.220	51.984
161.782	51.984
98.985	51.984
82.797	51.984
57.982	51.984
55.486	52.826
53.582	54.035
50.044	54.245
40.913	55.329
32.781	60.408
20.771	69.417
4.246	80.480
0.000	83.360
0.000	0.000
169.841	0.000
260.503	0.000
260.503	10.599
260.503	27.766
259.915	27.716
251.968	28.108
251.378	28.166
249.987	28.256
244.957	28.897
243.198	29.080
239.581	29.607
238.619	29.769
234.703	30.145
231.997	30.168
230.746	30.188
228.776	30.168

Material boundary

169.841	0.000
153.021	25.122
150.946	28.220
129.426	32.562
115.615	36.034
105.831	39.257
100.788	40.830
92.864	43.088

		Ponte sullo Stretto di Messina PROGETTO DEFINITIVO
CRA 3 – RELAZIONE GEOTECNICA E VERIFICHE DI STABILITA'	Codice documento CG1400PRBVCCZC4SD20000001	Rev F0      Data 08/06/2012

Material boundary

260.503	10.599
249.488	12.185
232.333	15.083
212.777	18.703
190.047	22.334
153.021	25.122

Material boundary

57.982	51.984
66.771	49.019
75.501	46.074
76.097	45.984
76.316	45.951
77.019	45.837
92.864	43.088
94.526	42.800
107.962	41.074
116.967	40.078
118.476	39.984
120.769	39.842
146.694	37.893
150.496	37.534
155.404	37.015
172.351	35.225
180.144	34.283
183.156	33.984
184.314	33.869
203.129	32.085
226.426	30.144
228.776	30.168

Material boundary

219.052	33.984
183.156	33.984

Material boundary

206.052	39.984
118.476	39.984

Material boundary

193.052	45.984
76.097	45.984

Material boundary

201.396	43.088
92.864	43.088

Material boundary

214.505	37.015
155.404	37.015

Material boundary

188.434	49.019
---------	--------

		Ponte sullo Stretto di Messina PROGETTO DEFINITIVO
CRA 3 – RELAZIONE GEOTECNICA E VERIFICHE DI STABILITA'	Codice documento CG1400PRBVCCZC4SD20000001	Rev F0      Data 08/06/2012

66.771 49.019

#### SSR Search Area

120.087	19.858
241.965	19.858
241.965	60.510
120.087	60.510

## 11.6 Sezione 9 - tabulato di output

### Shear Strength Reduction - Material Properties

Strength Reduction Factor: 1

Converged: yes

Material: MATERIALE INERTE

Peak friction angle: 29.25 degrees

Peak cohesion: 0 kPa

Residual Friction Angle: 29.25 degrees

Residual Cohesion: 0 kPa

Material: ROCCIE GRANITICHE

Peak friction angle: 32 degrees

Peak cohesion: 80 kPa

Residual Friction Angle: 32 degrees

Residual Cohesion: 80 kPa

Material: DEPOSITI ALLUVIONALI

Peak friction angle: 24.8 degrees

Peak cohesion: 0 kPa

Residual Friction Angle: 24.8 degrees

Residual Cohesion: 0 kPa

Material: DEPOSITI MARINI

Peak friction angle: 23 degrees

Peak cohesion: 8 kPa

Residual Friction Angle: 23 degrees

Residual Cohesion: 8 kPa

Strength Reduction Factor: 1.25

Converged: yes

Material: MATERIALE INERTE

Peak friction angle: 24.1334 degrees

Peak cohesion: 0 kPa

Residual Friction Angle: 24.1334 degrees

Residual Cohesion: 0 kPa

Material: ROCCIE GRANITICHE

Peak friction angle: 26.5603 degrees

Peak cohesion: 64 kPa

Residual Friction Angle: 26.5603 degrees

Residual Cohesion: 64 kPa

Material: DEPOSITI ALLUVIONALI

Peak friction angle: 20.2869 degrees

Peak cohesion: 0 kPa

Residual Friction Angle: 20.2869 degrees

Residual Cohesion: 0 kPa

Material: DEPOSITI MARINI

Peak friction angle: 18.7565 degrees

		<b>Ponte sullo Stretto di Messina</b> <b>PROGETTO DEFINITIVO</b>		
<b>CRA 3 – RELAZIONE GEOTECNICA E VERIFICHE DI STABILITÀ'</b>		<i>Codice documento</i> CG1400PRBVCCZC4SD20000001	<i>Rev</i> F0	<i>Data</i> 08/06/2012

Peak cohesion: 6.4 kPa

Residual Friction Angle: 18.7565 degrees

Residual Cohesion: 6.4 kPa

Strength Reduction Factor: 1.26

Converged: yes

Material: MATERIALE INERTE

Peak friction angle: 23.9635 degrees

Peak cohesion: 0 kPa

Residual Friction Angle: 23.9635 degrees

Residual Cohesion: 0 kPa

Material: ROCCIE GRANITICHE

Peak friction angle: 26.3781 degrees

Peak cohesion: 63.4921 kPa

Residual Friction Angle: 26.3781 degrees

Residual Cohesion: 63.4921 kPa

Material: DEPOSITI ALLUVIONALI

Peak friction angle: 20.1389 degrees

Peak cohesion: 0 kPa

Residual Friction Angle: 20.1389 degrees

Residual Cohesion: 0 kPa

Material: DEPOSITI MARINI

Peak friction angle: 18.6179 degrees

Peak cohesion: 6.34921 kPa

Residual Friction Angle: 18.6179 degrees

Residual Cohesion: 6.34921 kPa

Strength Reduction Factor: 1.31

Converged: yes

Material: MATERIALE INERTE

Peak friction angle: 23.1468 degrees

Peak cohesion: 0 kPa

Residual Friction Angle: 23.1468 degrees

Residual Cohesion: 0 kPa

Material: ROCCIE GRANITICHE

Peak friction angle: 25.5011 degrees

Peak cohesion: 61.0687 kPa

Residual Friction Angle: 25.5011 degrees

Residual Cohesion: 61.0687 kPa

Material: DEPOSITI ALLUVIONALI

Peak friction angle: 19.4288 degrees

Peak cohesion: 0 kPa

Residual Friction Angle: 19.4288 degrees

Residual Cohesion: 0 kPa

Material: DEPOSITI MARINI

Peak friction angle: 17.9537 degrees

Peak cohesion: 6.10687 kPa

Residual Friction Angle: 17.9537 degrees

Residual Cohesion: 6.10687 kPa

Strength Reduction Factor: 1.32

Converged: yes

Material: MATERIALE INERTE

Peak friction angle: 22.9897 degrees

Peak cohesion: 0 kPa

		Ponte sullo Stretto di Messina PROGETTO DEFINITIVO
CRA 3 – RELAZIONE GEOTECNICA E VERIFICHE DI STABILITÀ'	Codice documento CG1400PRBVCCZC4SD20000001	Rev F0      Data 08/06/2012

Residual Friction Angle: 22.9897 degrees

Residual Cohesion: 0 kPa

Material: ROCCIE GRANITICHE

Peak friction angle: 25.3322 degrees

Peak cohesion: 60.6061 kPa

Residual Friction Angle: 25.3322 degrees

Residual Cohesion: 60.6061 kPa

Material: DEPOSITI ALLUVIONALI

Peak friction angle: 19.2926 degrees

Peak cohesion: 0 kPa

Residual Friction Angle: 19.2926 degrees

Residual Cohesion: 0 kPa

Material: DEPOSITI MARINI

Peak friction angle: 17.8263 degrees

Peak cohesion: 6.06061 kPa

Residual Friction Angle: 17.8263 degrees

Residual Cohesion: 6.06061 kPa

**Critical Strength Reduction Factor: 1.33**

Converged: yes

Material: MATERIALE INERTE

Peak friction angle: 22.8346 degrees

Peak cohesion: 0 kPa

Residual Friction Angle: 22.8346 degrees

Residual Cohesion: 0 kPa

Material: ROCCIE GRANITICHE

Peak friction angle: 25.1654 degrees

Peak cohesion: 60.1504 kPa

Residual Friction Angle: 25.1654 degrees

Residual Cohesion: 60.1504 kPa

Material: DEPOSITI ALLUVIONALI

Peak friction angle: 19.1581 degrees

Peak cohesion: 0 kPa

Residual Friction Angle: 19.1581 degrees

Residual Cohesion: 0 kPa

Material: DEPOSITI MARINI

Peak friction angle: 17.7007 degrees

Peak cohesion: 6.01504 kPa

Residual Friction Angle: 17.7007 degrees

Residual Cohesion: 6.01504 kPa

Strength Reduction Factor: 1.34

Converged: no

Material: MATERIALE INERTE

Peak friction angle: 22.6815 degrees

Peak cohesion: 0 kPa

Residual Friction Angle: 22.6815 degrees

Residual Cohesion: 0 kPa

Material: ROCCIE GRANITICHE

Peak friction angle: 25.0006 degrees

Peak cohesion: 59.7015 kPa

Residual Friction Angle: 25.0006 degrees

Residual Cohesion: 59.7015 kPa

Material: DEPOSITI ALLUVIONALI

Peak friction angle: 19.0254 degrees

		<b>Ponte sullo Stretto di Messina</b> <b>PROGETTO DEFINITIVO</b>		
<b>CRA 3 – RELAZIONE GEOTECNICA E VERIFICHE DI STABILITÀ'</b>	<i>Codice documento</i> CG1400PRBVCCZC4SD20000001	<i>Rev</i> F0	<i>Data</i> 08/06/2012	

Peak cohesion: 0 kPa

Residual Friction Angle: 19.0254 degrees

Residual Cohesion: 0 kPa

Material: DEPOSITI MARINI

Peak friction angle: 17.5768 degrees

Peak cohesion: 5.97015 kPa

Residual Friction Angle: 17.5768 degrees

Residual Cohesion: 5.97015 kPa

Strength Reduction Factor: 1.37

Converged: no

Material: MATERIALE INERTE

Peak friction angle: 22.2337 degrees

Peak cohesion: 0 kPa

Residual Friction Angle: 22.2337 degrees

Residual Cohesion: 0 kPa

Material: ROCCIE GRANITICHE

Peak friction angle: 24.5182 degrees

Peak cohesion: 58.3942 kPa

Residual Friction Angle: 24.5182 degrees

Residual Cohesion: 58.3942 kPa

Material: DEPOSITI ALLUVIONALI

Peak friction angle: 18.6379 degrees

Peak cohesion: 0 kPa

Residual Friction Angle: 18.6379 degrees

Residual Cohesion: 0 kPa

Material: DEPOSITI MARINI

Peak friction angle: 17.2148 degrees

Peak cohesion: 5.83942 kPa

Residual Friction Angle: 17.2148 degrees

Residual Cohesion: 5.83942 kPa

Strength Reduction Factor: 1.5

Converged: no

Material: MATERIALE INERTE

Peak friction angle: 20.4732 degrees

Peak cohesion: 0 kPa

Residual Friction Angle: 20.4732 degrees

Residual Cohesion: 0 kPa

Material: ROCCIE GRANITICHE

Peak friction angle: 22.6156 degrees

Peak cohesion: 53.3333 kPa

Residual Friction Angle: 22.6156 degrees

Residual Cohesion: 53.3333 kPa

Material: DEPOSITI ALLUVIONALI

Peak friction angle: 17.1211 degrees

Peak cohesion: 0 kPa

Residual Friction Angle: 17.1211 degrees

Residual Cohesion: 0 kPa

Material: DEPOSITI MARINI

Peak friction angle: 15.8006 degrees

Peak cohesion: 5.33333 kPa

Residual Friction Angle: 15.8006 degrees

Residual Cohesion: 5.33333 kPa

		<b>Ponte sullo Stretto di Messina</b> <b>PROGETTO DEFINITIVO</b>		
CRA 3 – RELAZIONE GEOTECNICA E VERIFICHE DI STABILITÀ'	<i>Codice documento</i> CG1400PRBVCCZC4SD20000001	<i>Rev</i> F0	<i>Data</i> 08/06/2012	

Strength Reduction Factor: 1.75

Converged: no

Material: MATERIALE INERTE

Peak friction angle: 17.7455 degrees

Peak cohesion: 0 kPa

Residual Friction Angle: 17.7455 degrees

Residual Cohesion: 0 kPa

Material: ROCCIE GRANITICHE

Peak friction angle: 19.65 degrees

Peak cohesion: 45.7143 kPa

Residual Friction Angle: 19.65 degrees

Residual Cohesion: 45.7143 kPa

Material: DEPOSITI ALLUVIONALI

Peak friction angle: 14.7907 degrees

Peak cohesion: 0 kPa

Residual Friction Angle: 14.7907 degrees

Residual Cohesion: 0 kPa

Material: DEPOSITI MARINI

Peak friction angle: 13.6342 degrees

Peak cohesion: 4.57143 kPa

Residual Friction Angle: 13.6342 degrees

Residual Cohesion: 4.57143 kPa

## **Areas of Excavated and Filled Elements**

### Stage 2

Material: MATERIALE INERTE, Area Filled: 83.943 m<sup>2</sup>

### Stage 3

Material: MATERIALE INERTE, Area Filled: 143.379 m<sup>2</sup>

### Stage 4

Material: MATERIALE INERTE, Area Filled: 219.901 m<sup>2</sup>

### Stage 5

Material: MATERIALE INERTE, Area Filled: 307.531 m<sup>2</sup>

### Stage 6

Material: MATERIALE INERTE, Area Filled: 332.221 m<sup>2</sup>

### Stage 7

Material: MATERIALE INERTE, Area Filled: 362.578 m<sup>2</sup>

### Stage 8

Material: MATERIALE INERTE, Area Filled: 367.091 m<sup>2</sup>

## **Excavation Areas**

### Original Un-deformed Areas

External Boundary Area: 13057.640 m<sup>2</sup>

External Boundary Perimeter: 648.148 m

### Stage 1

External Boundary Area: 13057.640 m<sup>2</sup> (0 m<sup>2</sup> change from original area)

		<b>Ponte sullo Stretto di Messina</b> <b>PROGETTO DEFINITIVO</b>		
CRA 3 – RELAZIONE GEOTECNICA E VERIFICHE DI STABILITÀ'	<i>Codice documento</i> CG1400PRBVCCZC4SD20000001	<i>Rev</i> F0	<i>Data</i> 08/06/2012	

External Boundary Perimeter: 648.148 m (0 m change from original perimeter)

#### Stage 2

External Boundary Area: 13057.079 m<sup>2</sup> (-0.560844 m<sup>2</sup> change from original area)  
 External Boundary Perimeter: 648.164 m (0.0165447 m change from original perimeter)

#### Stage 3

External Boundary Area: 13056.737 m<sup>2</sup> (-0.902377 m<sup>2</sup> change from original area)  
 External Boundary Perimeter: 648.173 m (0.0251169 m change from original perimeter)

#### Stage 4

External Boundary Area: 13056.255 m<sup>2</sup> (-1.38437 m<sup>2</sup> change from original area)  
 External Boundary Perimeter: 648.182 m (0.0340919 m change from original perimeter)

#### Stage 5

External Boundary Area: 13056.065 m<sup>2</sup> (-1.57462 m<sup>2</sup> change from original area)  
 External Boundary Perimeter: 648.189 m (0.0410413 m change from original perimeter)

#### Stage 6

External Boundary Area: 13055.711 m<sup>2</sup> (-1.92911 m<sup>2</sup> change from original area)  
 External Boundary Perimeter: 648.196 m (0.04841 m change from original perimeter)

#### Stage 7

External Boundary Area: 13055.548 m<sup>2</sup> (-2.0918 m<sup>2</sup> change from original area)  
 External Boundary Perimeter: 648.202 m (0.0548003 m change from original perimeter)

#### Stage 8

External Boundary Area: 13051.889 m<sup>2</sup> (-5.75049 m<sup>2</sup> change from original area)  
 External Boundary Perimeter: 648.184 m (0.0364679 m change from original perimeter)

#### Stage 9

External Boundary Area: 13049.639 m<sup>2</sup> (-8.00132 m<sup>2</sup> change from original area)  
 External Boundary Perimeter: 648.168 m (0.0208261 m change from original perimeter)

### **Yielded Elements**

#### Yielded Mesh Elements

Number of yielded mesh elements on Stage 1: 88  
 Number of yielded mesh elements on Stage 2: 99  
 Number of yielded mesh elements on Stage 3: 138  
 Number of yielded mesh elements on Stage 4: 215  
 Number of yielded mesh elements on Stage 5: 283  
 Number of yielded mesh elements on Stage 6: 335  
 Number of yielded mesh elements on Stage 7: 390  
 Number of yielded mesh elements on Stage 8: 426  
 Number of yielded mesh elements on Stage 9: 541